

Gruppe 13 – B, Al, Ga, In, Th

<https://www.schulz.chemie.uni-rostock.de/lehre/vorlesungen-bachelor/anorganische-chemie-iv-ch17/>



Leibniz-Institut für Katalyse e.V.

LIKAT Rostock

Übersicht

■ 5. Metall/Elementorganische Verbindungen der Hauptgruppenelemente

» Erdmetalle

- Bororganyle (Synthese, Struktur, Bindung)
- Aluminiumorganyle
- Ga/In/Th-organyle

B
2.0

C
2.55

Al

1.6

Ga

1.8

In

1.8

Tl

1.6

Wirtschaftliche Bedeutung groß

B und Al-Chemie dominieren

Organyle der Erdmetalle/Borgruppe

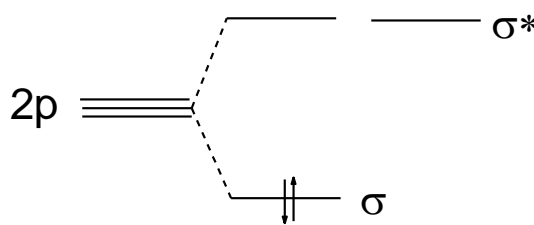
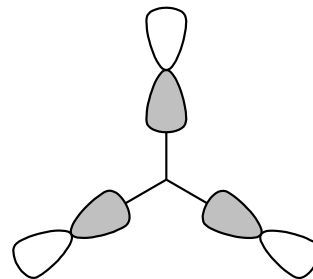
“Kovalente” Mehrzentrenbindungen

	(1) IA	(2) IIA	Hauptgruppen										(18) VIIIA					
1. Periode	1.0079 Wasserstoff ¹ H	9.0122 Beryllium ⁴ Be											4.0026 Helium ² He					
2. Periode	6.941 Lithium ³ Li	22.990 Magnesium ¹² Mg											20.180 Neon ¹⁰ Ne					
3. Periode	24.305 Magnesium ¹² Mg	(3) IIIB	(4) IVB	(5) VB	(6) VIB	(7) VIIIB	(8) VIII	(9) VIII	(10) VIII	(11) IB	(12) IIB	10.811 Bor ⁵ B	12.011 Kohlenstoff ⁶ C	14.007 Stickstoff ⁷ N	15.994 Sauerstoff ⁸ O	18.998 Fluor ⁹ F	20.180 Neon ¹⁰ Ne	
4. Periode	39.098 Kalium ¹⁹ K	40.078 Calcium ²⁰ Ca	44.956 Scandium ²¹ Sc	47.88 Titan ²² Ti	50.942 Vanadium ²³ V	51.996 Chrom ²⁴ Cr	54.938 Mangan ²⁵ Mn	55.847 Eisen ²⁶ Fe	58.933 Cobalt ²⁷ Co	58.69 Nickel ²⁸ Ni	63.546 Kupfer ²⁹ Cu	65.39 Zink ³⁰ Zn	69.723 Gallium ³¹ Ga	72.61 Germanium ³² Ge	74.922 Arsen ³³ As	78.96 Selen ³⁴ Se	79.904 Brom ³⁵ Br	83.80 Krypton ³⁶ Kr
	85.468	87.62	88.906	91.224	92.906	95.94	98.906	101.07	102.91	106.42	107.87	112.41	114.82	118.71	121.75	127.60	126.90	131.29

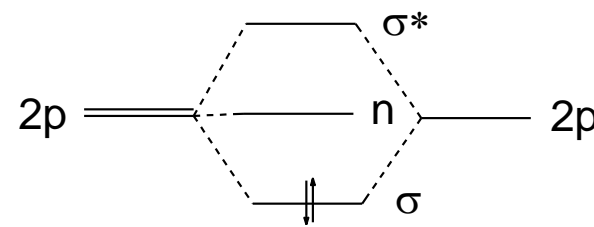
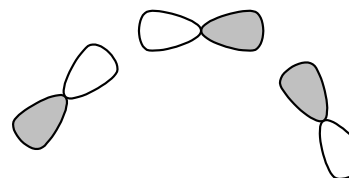
- Es besteht eine enge Verknüpfung zur Chemie der Borhydride
- B-N-Verbindungen isoelektronisch zu C-C-Verbindungen
- Aluminiumorganyle dienen als Carbanionenüberträger (unschlagbar billig) und spielen eine Schlüsselrolle in großtechnischen Verfahren

Bindungsverhältnisse

- neben der "klassischen" 2-Zentren-2-Elektronenbindung gibt es:



geschlossene 3-Zentren-2-
Elektronenbindung
 D_{3h} -Symmetrie



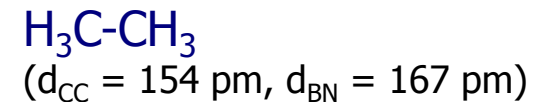
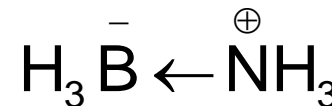
offene 3-Zentren-
2-Elektronenbindung
 C_{2v} -Symmetrie

Zum Vergleich: Bor-Stickstoff-Verbindungen

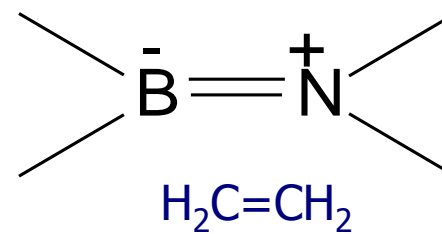
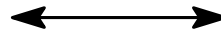
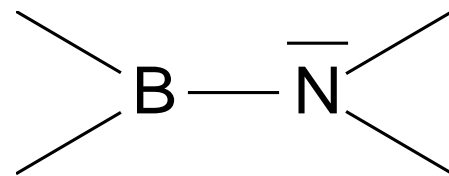
Bor-Amin-Addukte:

Lewis-Säure verbunden mit Lewis-Base

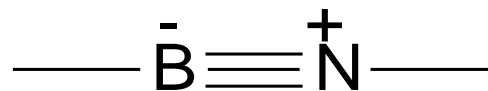
Problem: **Formalladung vs. Partialladung**



Aminoborane:

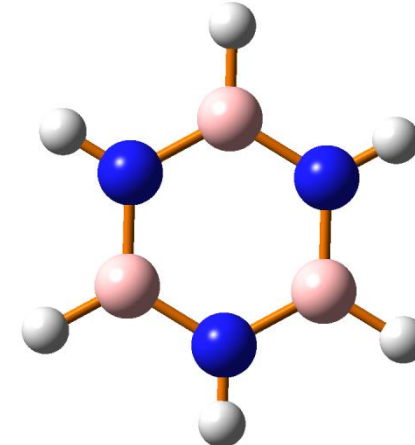
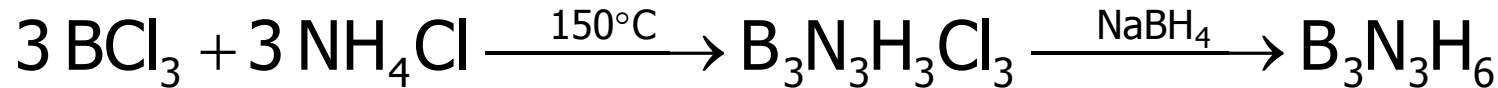


Iminoborane:



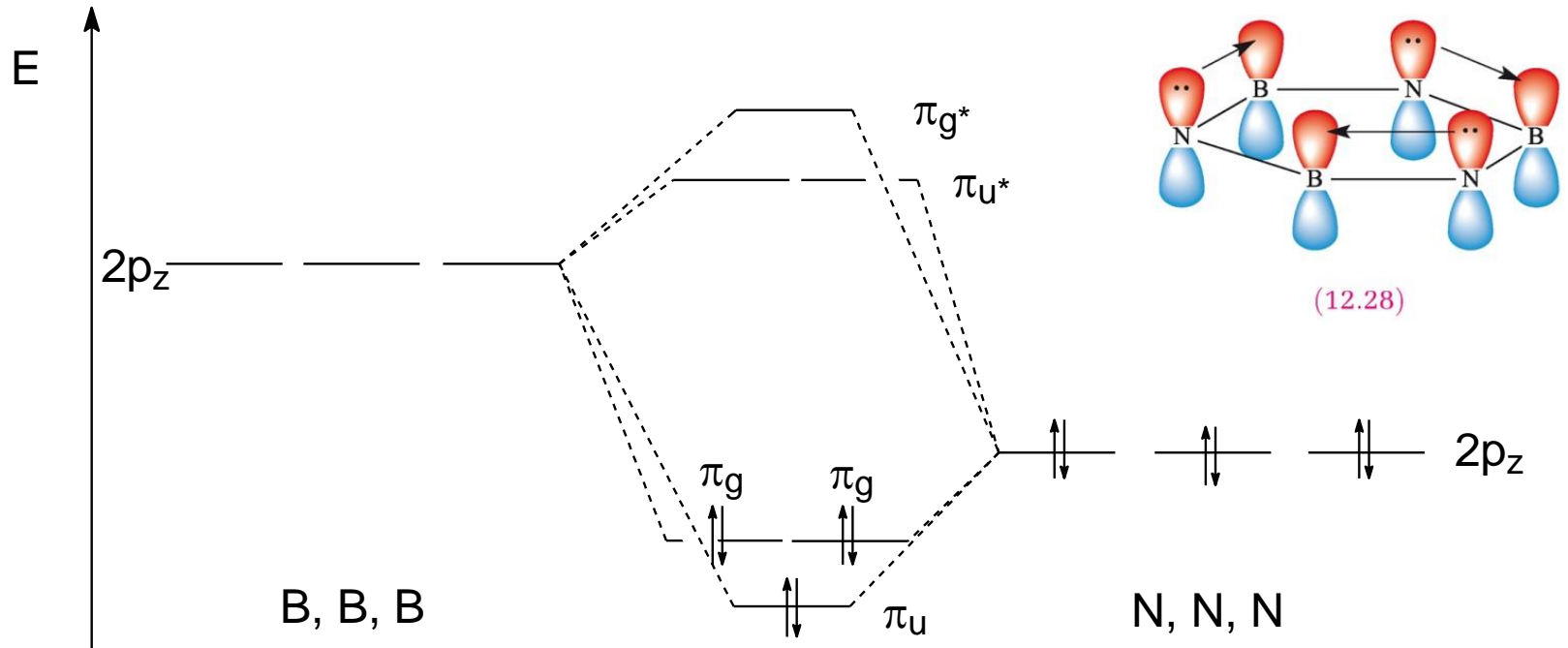
Borazol (Borazin)

HB=NH ist unbeständig und oligomerisiert zum cyclischen $(\text{HBNH})_3$

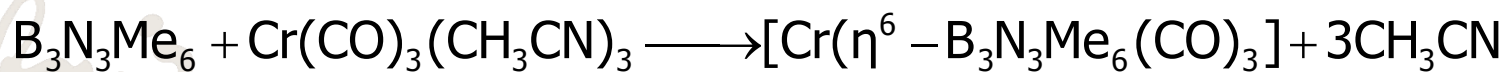


- farblose Flüssigkeit, aromatischer Geruch,
- D_{3h} , $\angle \text{NBN} = 117^\circ$ und $\angle \text{BNB} = 123^\circ$,
- stark polare Bindungen, im Gegensatz zu Benzol reaktiver: quasi-aromatisch
- Hydrolyse: NH_3 und B(OH)_3

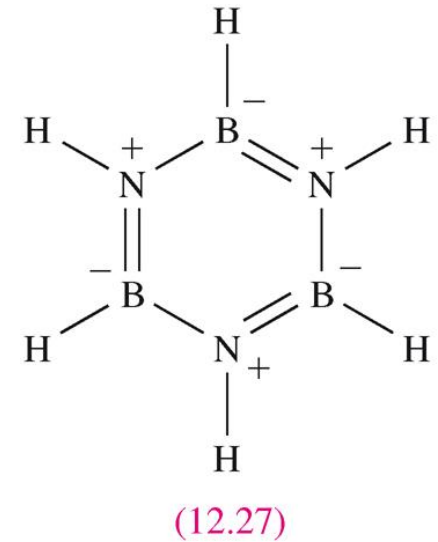
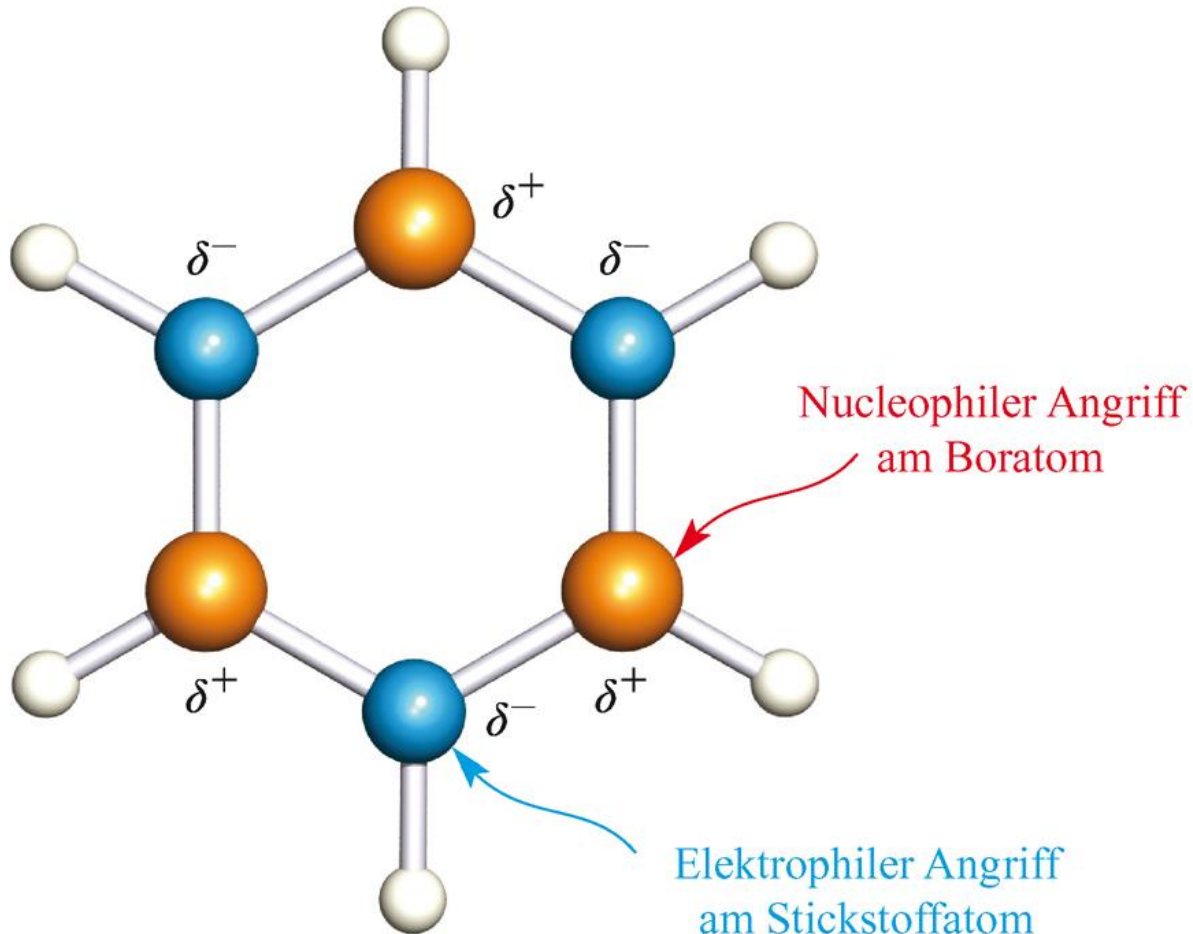
Energieniveaudiagramm für die MO's, die aus 3 2p_z am Bor und entstehen.



Sandwich wie beim Benzol:

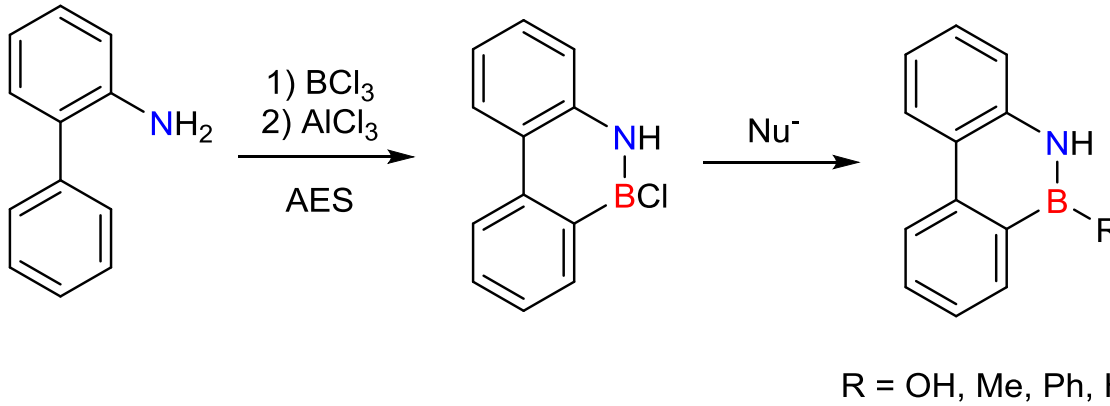


Hydrolyse: Formal- vs. Partialladung

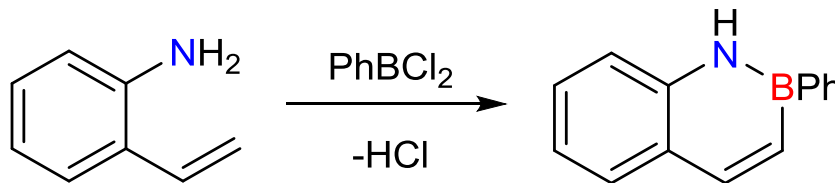


Hybride Organisch/Anorganische Benzol-Derivate

- Erster Bericht eines aromatischen Systems mit 1,2-BN Einheit
1958: 9,10-Azaboraphenatren, Dewar et al.



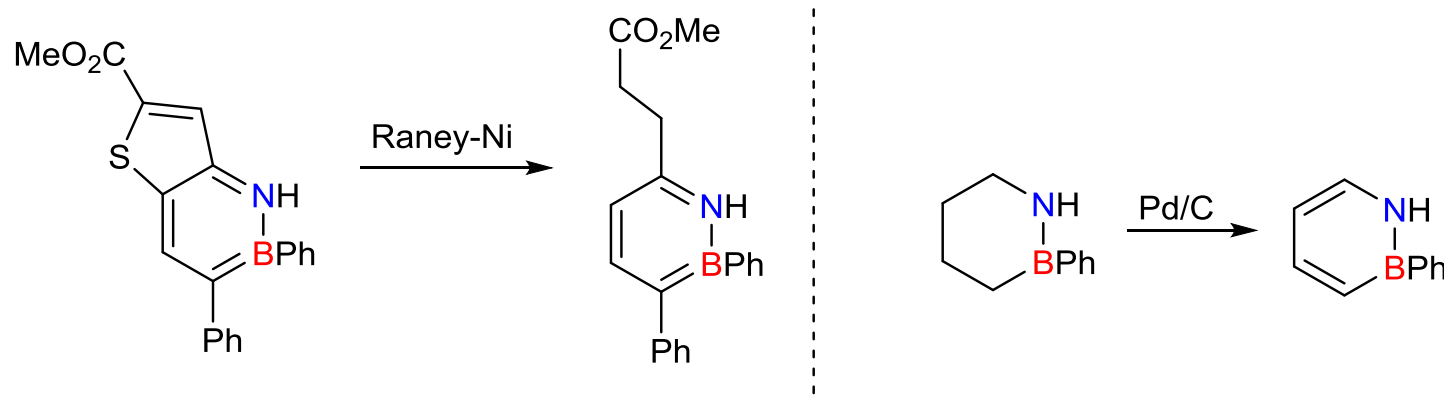
- 1959 dann das erste BN-Naphtalen:



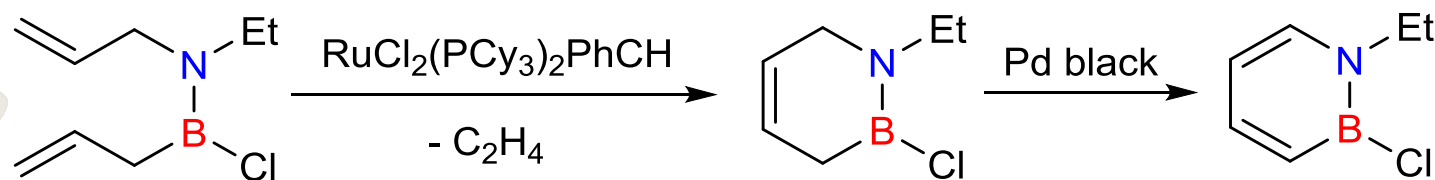
a) M. J. S. Dewar, V. P. Kubba, R. Pettit, *J. Chem. Soc.* **1958**, 3073; b) M. J. S. Dewar, *Tetrahedron* **1959**, 7, 213

Hybride Organisch/Anorganische Benzol-Derivate

- 1962 dann das erste 1,2-Azaborin durch Dewar und White



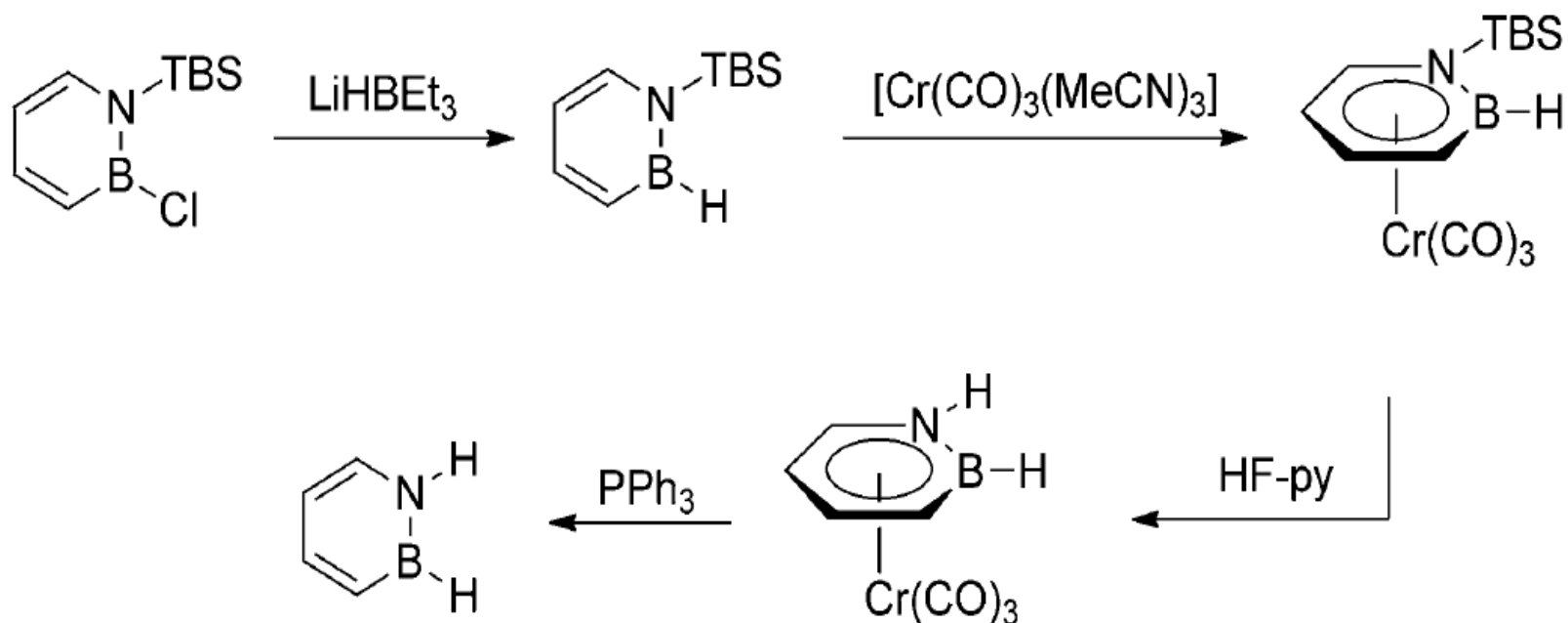
- Liu et al. nutzen ROMP zur Darstellung von funktionalisierten 1,2-Azaborinen



a) M. J. S. Dewar, P. A. Marr, *J. Am. Chem. Soc.* **1962**, *84*, 3782; b) A. J. V. Marwitz, E. R. Abbey, J. T. Jenkins, L. N. Zakharov, S.-Y. Liu, *Org. Lett.* **2007**, *9*, 4905

Das 1,2-Dihydro-1,2-Azaborin

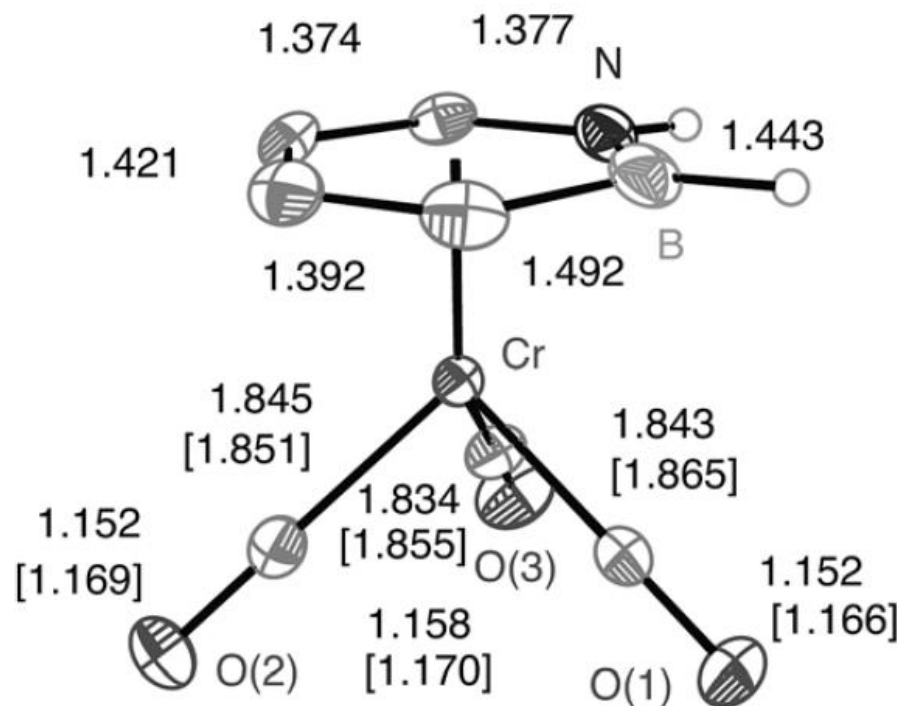
- 2009 Synthese des „Stamm“ 1,2-Dihydro-1,2-Azaborins



A. J. V. Marwitz, M. H. Matus, L. N. Zakharov, D. A. Dixon, S.-Y. Liu, *Angew. Chem. Int. Ed.* **2009**, *48*, 973.

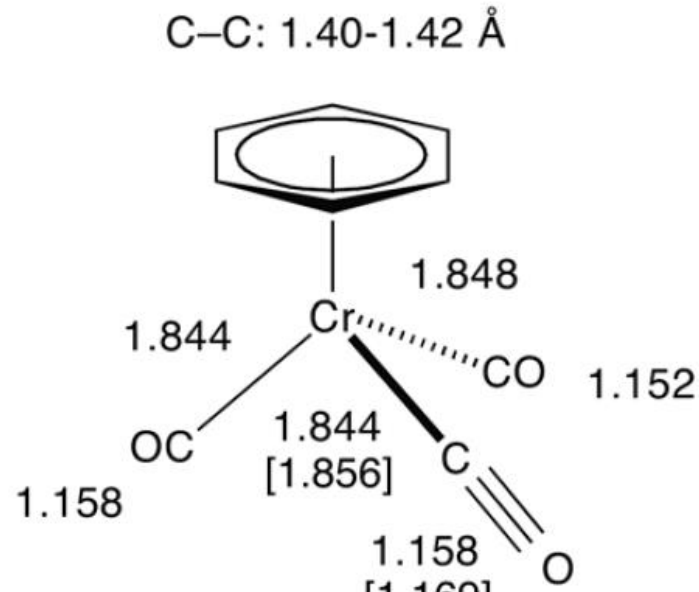
Das 1,2-Dihydro-1,2-Azaborin

$\nu(\text{CO}) = 1898,1975 \text{ cm}^{-1}$



81

$\nu(\text{CO}) = 1892,1972 \text{ cm}^{-1}$

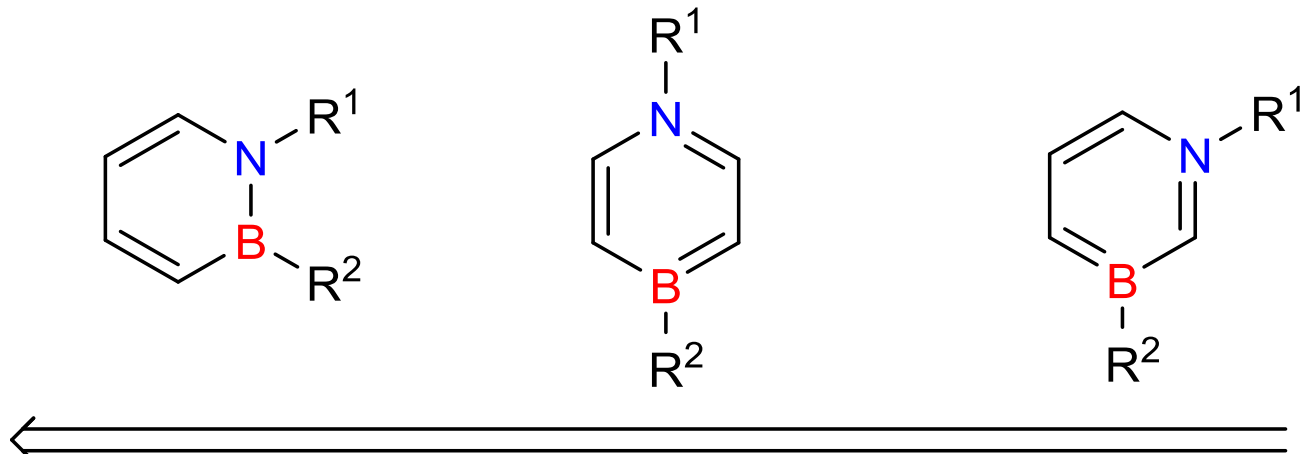


$[\text{Cr}(\text{CO})_3(\text{C}_6\text{H}_6)]$

A. J. V. Marwitz, M. H. Matus, L. N. Zakharov, D. A. Dixon, S.-Y. Liu, *Angew. Chem. Int. Ed.* **2009**, *48*, 973.

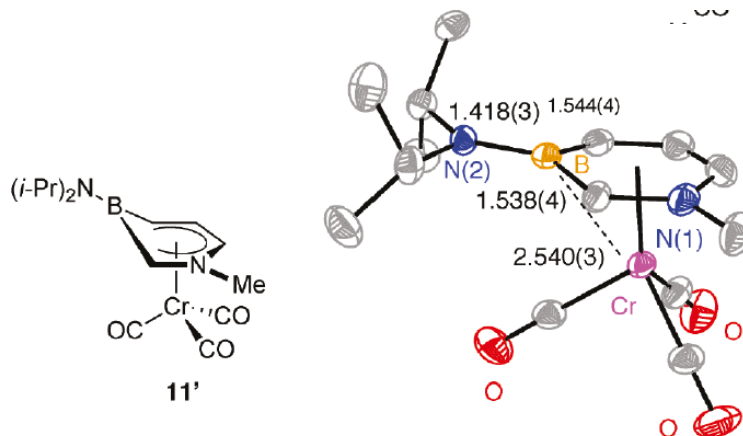
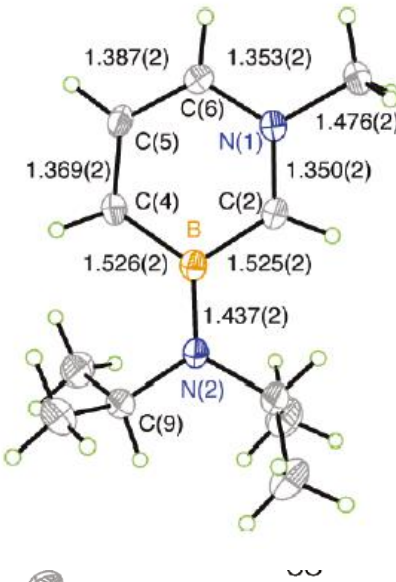
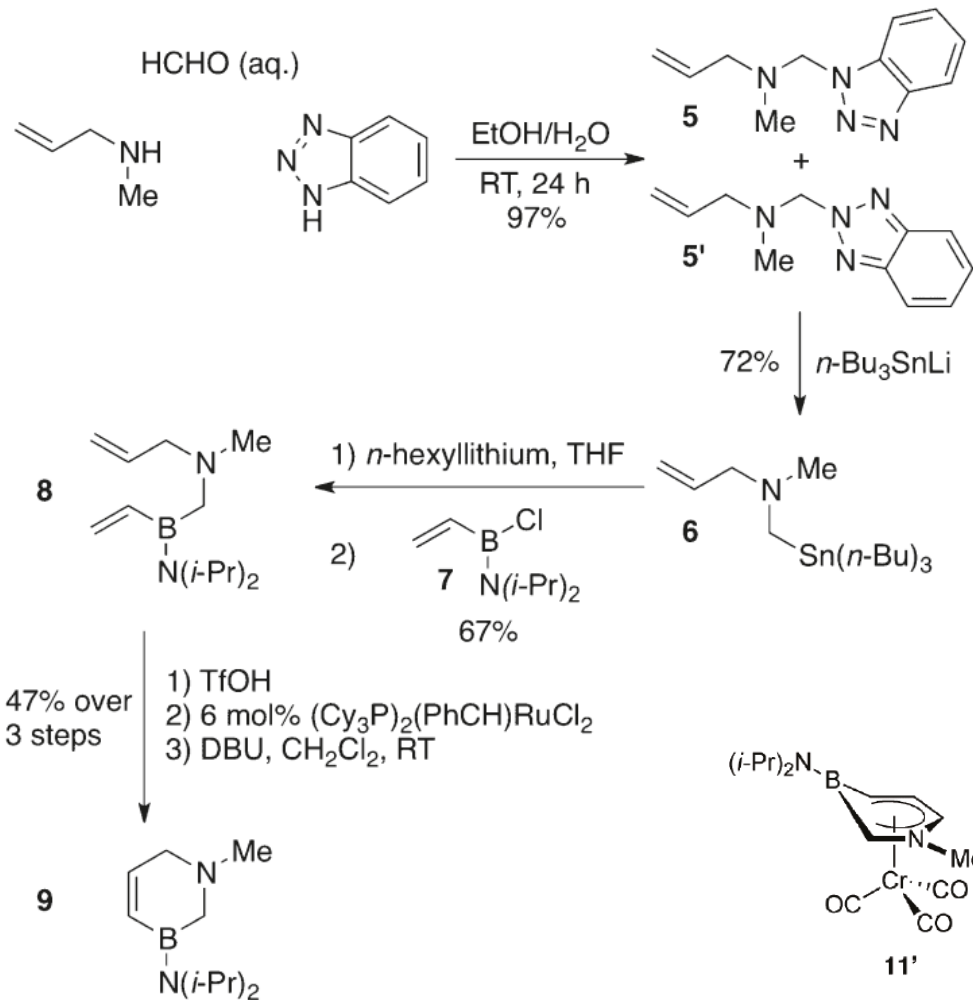
Konstitutionsisomere des Azaborins

- 1,2-Isomer thermodynamisch am stabilsten
- $1,2 > 1,4 > 1,3$



thermodynamische Stabilität

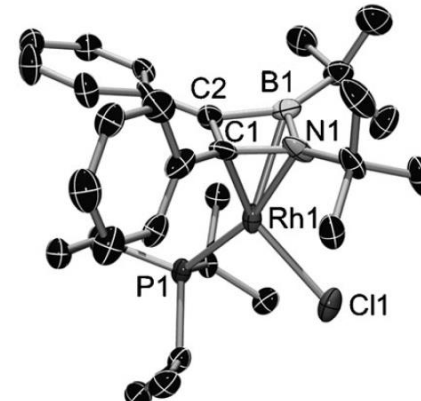
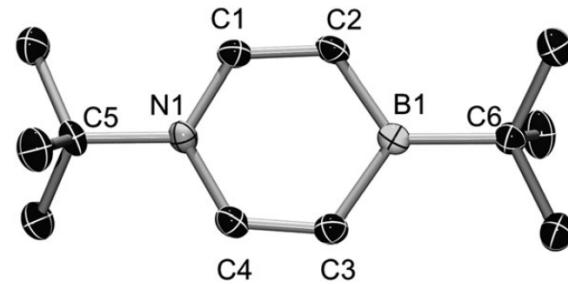
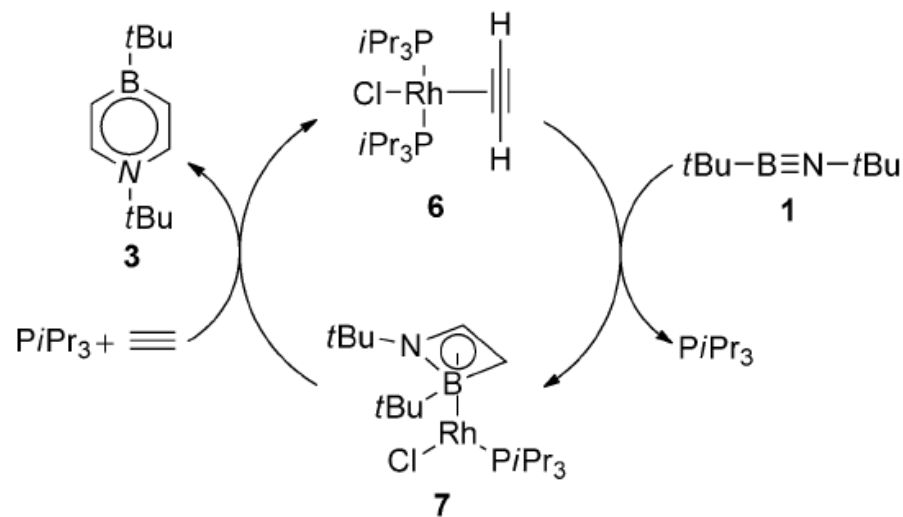
Das 1,3-Azaborin



S. Xu, L. N. Zakharov, S.-Y. Liu, *J. Am. Chem. Soc.* **2011**, *133*, 20152

Das 1,4-Azaborin

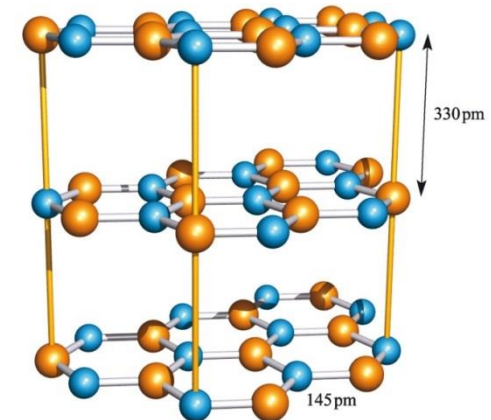
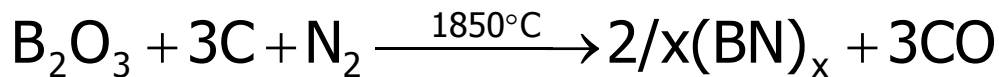
- Braunschweig et al. 2012 – [2+2+2]-Zyklisierung an 14e-Rhodium-Komplexen
- Stabiles Iminoboran $t\text{Bu-NB-}t\text{Bu}$ und Acetylen als Edukt



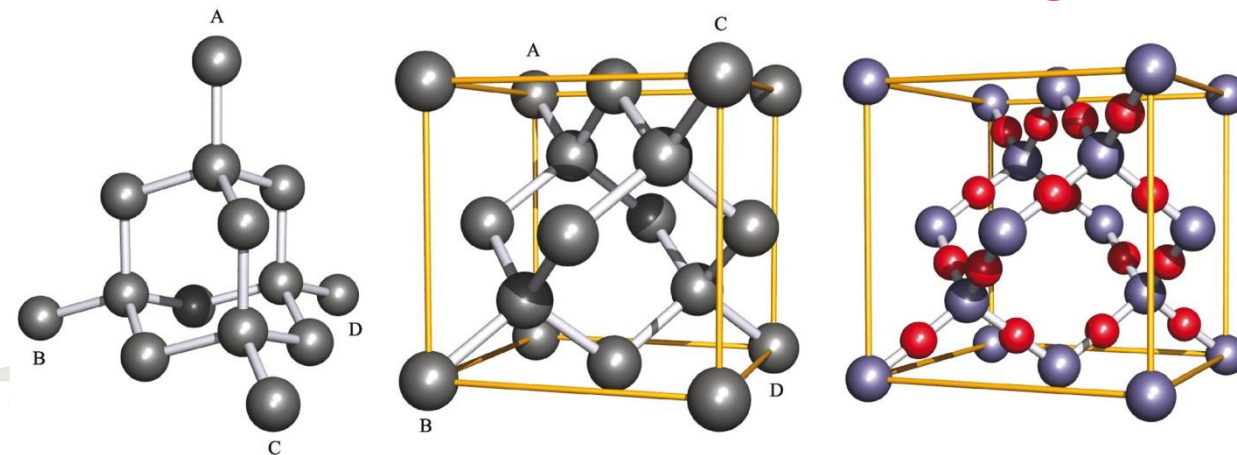
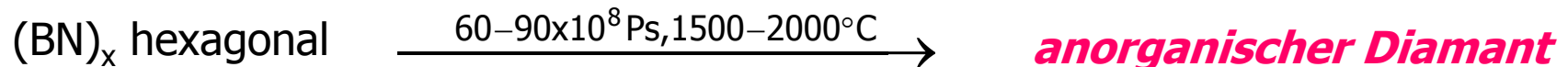
H. Braunschweig, A. Damme, J. O. C. Jimenez-Halla, B. Pfaffinger, K. Radacki, J. Wolf, *Angew. Chem.* **2012**, *124*, 10177.

Weitere Analogien - Bornitrid

Bornitrid (**Graphit** analog):

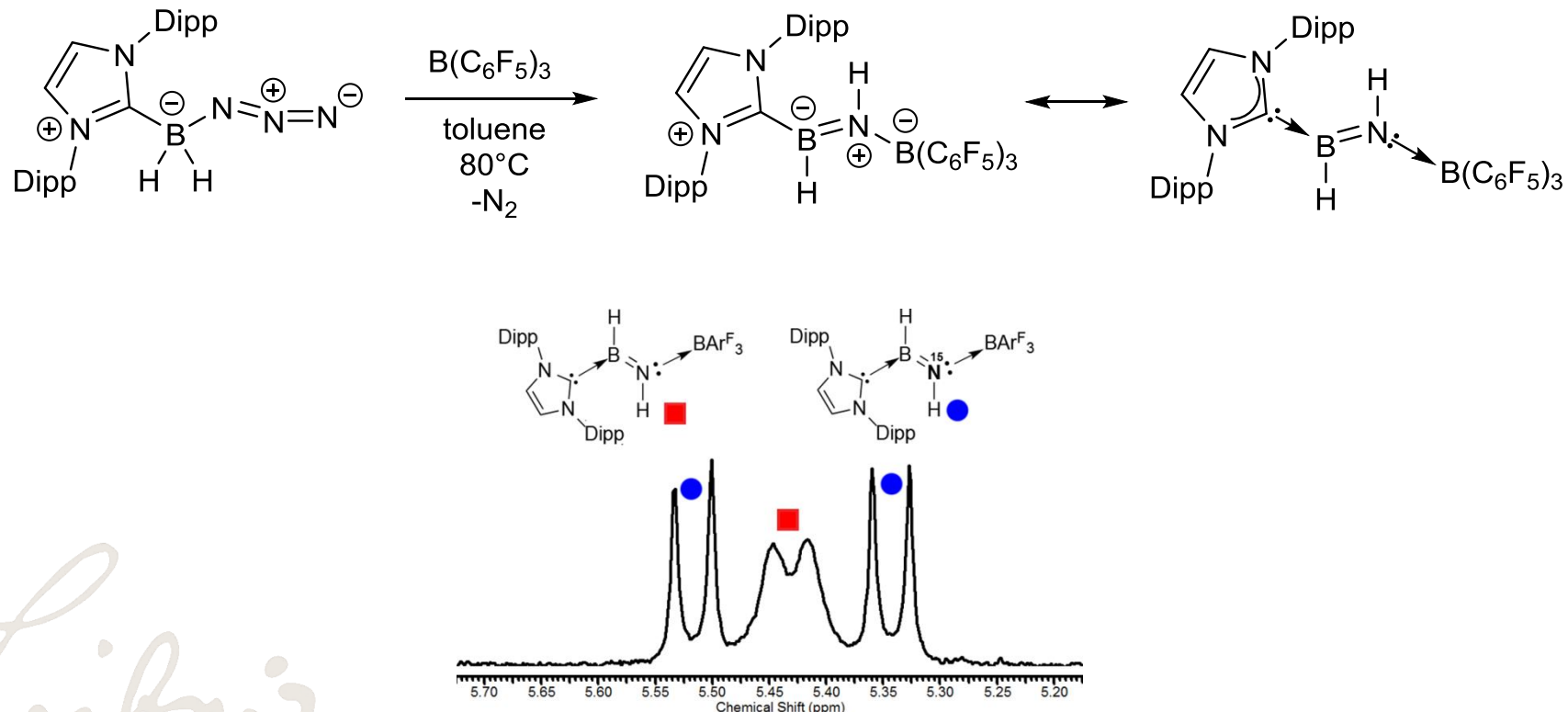


Graphit/Diamant Analogie:



Molekulare Prekusoren für BN?

- Stabilisierung von anorganischem Acetylen ($\text{HN}=\text{B}(\text{C}_6\text{F}_5)_3$) zwischen Carben (IPr) und LS $\text{B}(\text{C}_6\text{F}_5)_3$



A. K. Swarnakar, C. Hering-Junghans, K. Nagata, M. J. Ferguson, R. McDonald, N. Tokitoh, E. Rivard, *Angew. Chem. Int. Ed.* **2015**, *54*, 10666.

Borane B_nH_m , Hydroborat-Anionen (Boranate), Carbaborane und Carbaborat-Anionen (BH^- ersetzt durch CH)

Begründer:

Alfred Stock (1912-1936)

Bindungseigenschaften:

W. N. Lipscomb 1976 Nobelpreis

Literatur:

L. Muetterties, *Boron Hydrogen Chemistry*, Academic Press, London, New York, 1975

R. Köster, M. A. Grassberger, *Angew. Chemie*, **1967**, 79, 197.

W. N. Lipscomb, *Angew. Chemie*, **1977**, 89, 685.

4 allgemeine Bruttoformel:

B_nH_{n+2}	B_nH_{n+4}	B_nH_{n+6}	B_nH_{n+8}
closو	nido	arachno	hypho
Käfig	-1 Ecke	-2 Ecken	-3 Ecken

Beispiel für B_nH_{n+4} :

B_2H_6 , B_4H_8 , ... $B_{18}H_{22}$

Beispiel für B_nH_{n+6} :

B_4H_{10} , B_5H_{11} , ... $B_{20}H_{26}$

- elektronen Mangelverbindungen

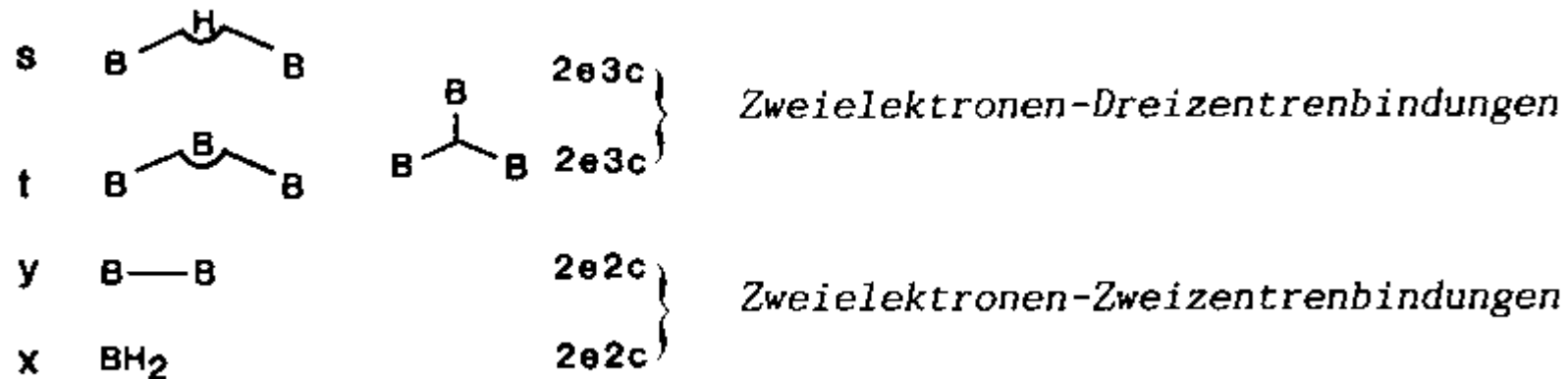
- stark endotherme Verbindungen: $B_2H_6 + 3 O_2 \rightarrow B_2O_3 + 3 H_2O \Delta H^\circ(298) = -2138 \text{ KJ/mol}$

- Nomenklatur:

BH_3 : Boran (3); B_2H_6 : Diboran (6); B_4H_{10} : Tetraboran (10)

Mehrzentrenbindungen in Boranen

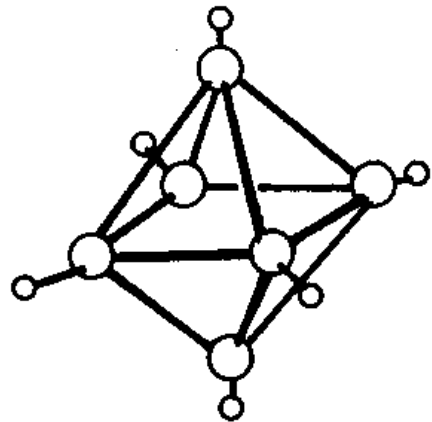
- In Boranen (auch C-substituierten) liegen immer mehr Gerüstverbindungslien als Elektronenpaare vor (LIPSCOMB)
- Styx - Code



Zweielektronen-Zweizentrenbindungen

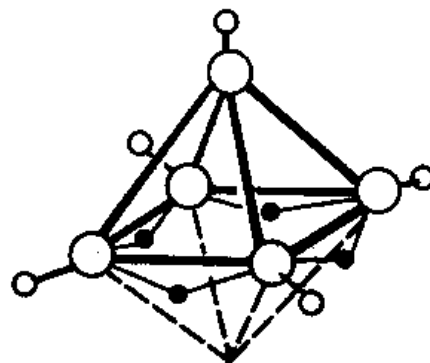
z.B. B_2H_6 styx code = 2002

Borhydride – Eine Wiederholung



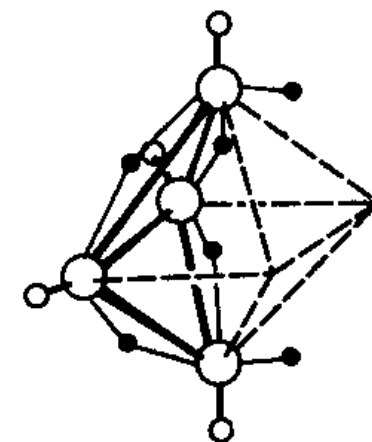
$2n+2$

creso ($\text{B}_6\text{H}_6^{2-}$)
(B_4H_{10})



$2n+4$

nido (B_5H_9)



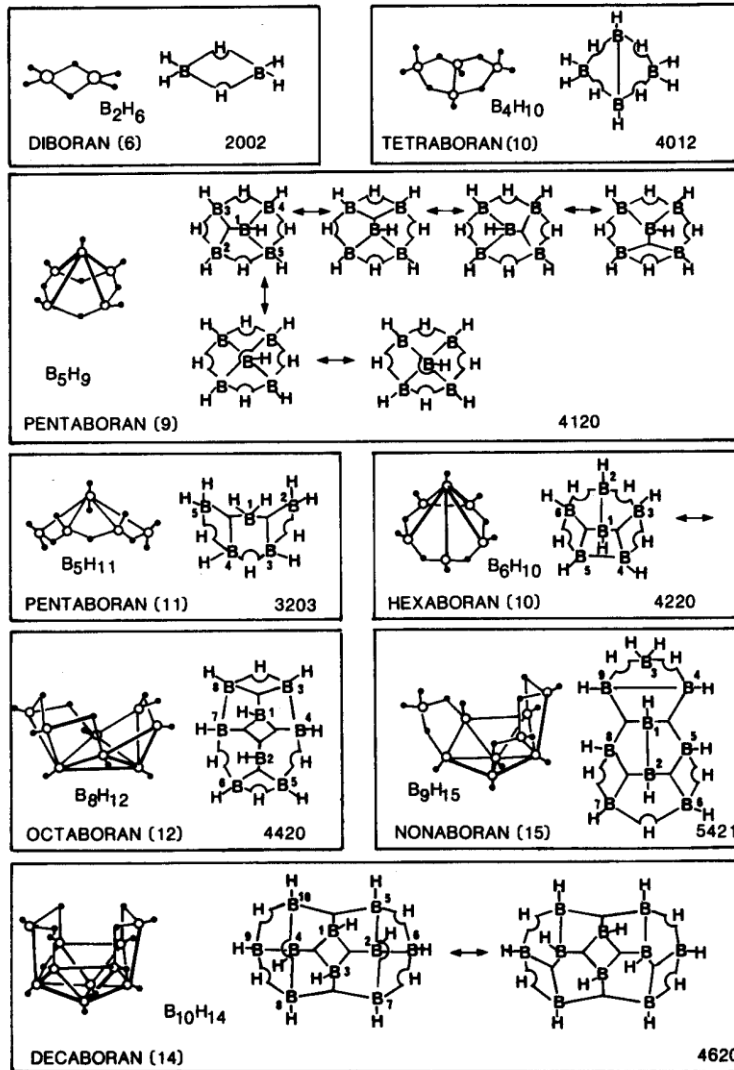
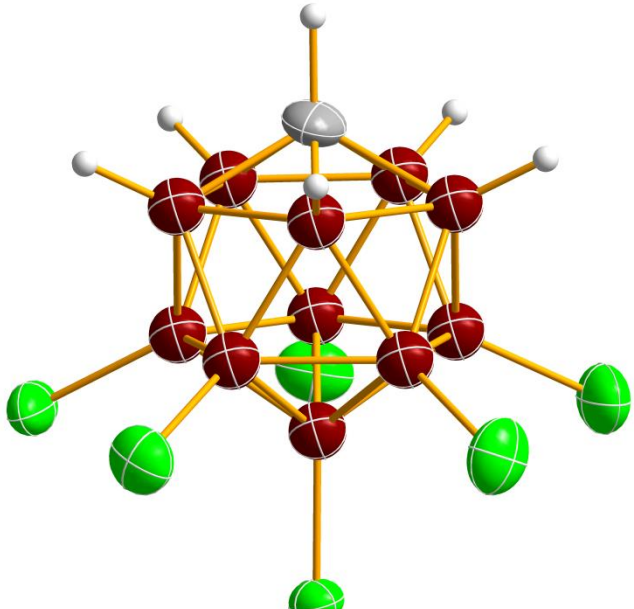
$2n+6$
Gerüstelektronen

arachno

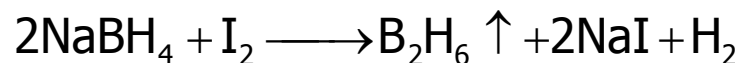
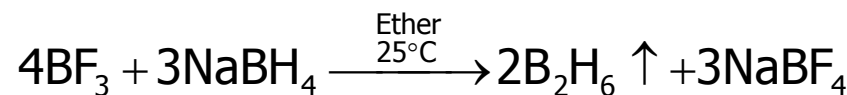
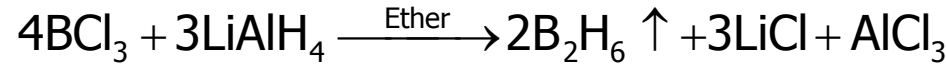
- Erste Ergebnisse von A. Stock (1876-1946)
- WADE'schen Regeln: Anzahl der Gerüstelektronen = Summe der Valenzelektronen der (Bor-)Gerüstatome + Valenzelektronen der H-Atome + Anzahl der Elektronenladungen - zwei Elektronen pro Hauptgruppen-Gerüstatom bzw. zwölf pro Nebengruppen-Gerüstatom.

Borhydride – Eine Wiederholung

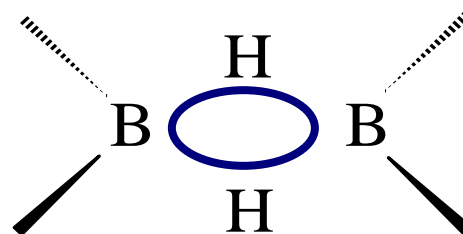
Sehr gute schwachkoordinierende Anionen! Z.B. $[\text{HCB}_{11}\text{H}_5\text{Cl}_6]^-$



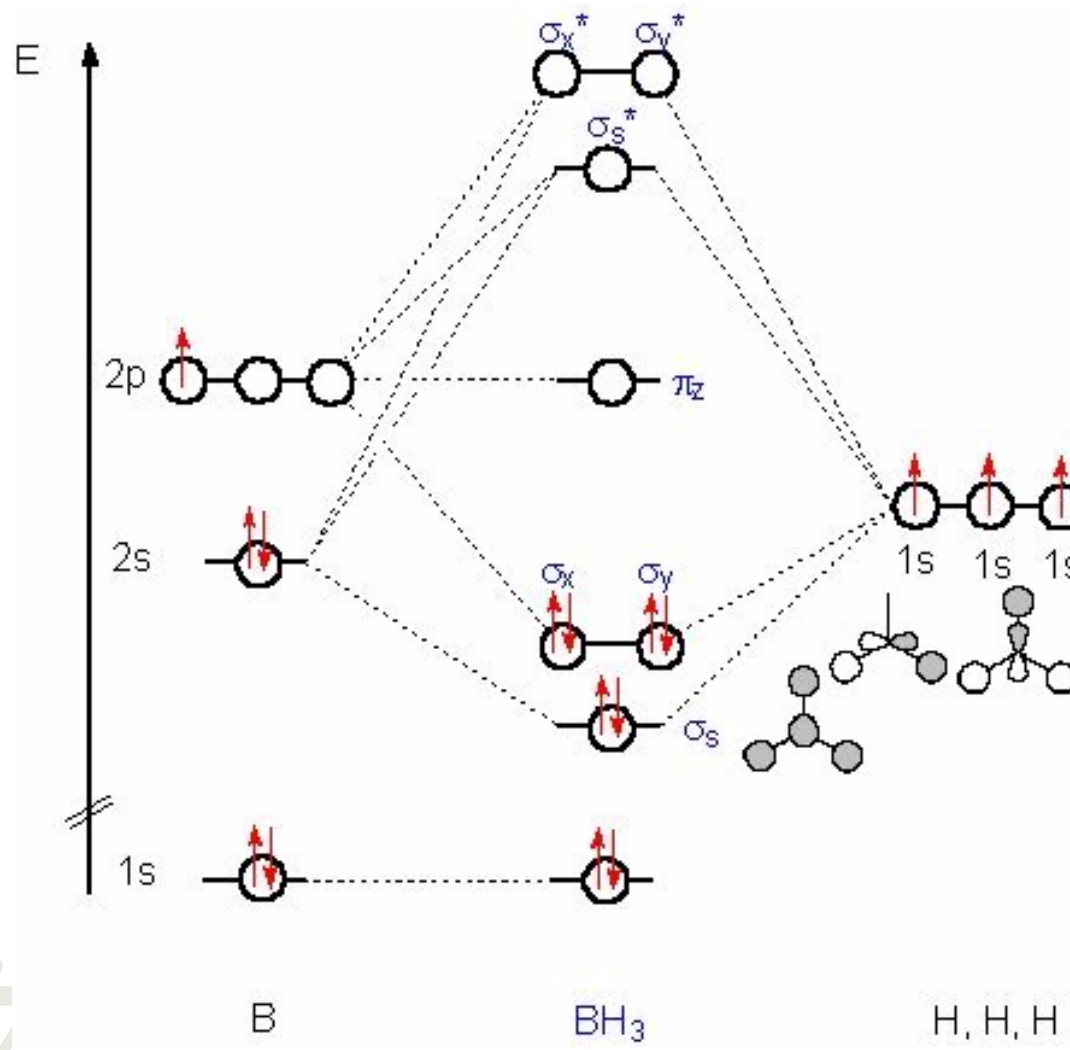
Synthese



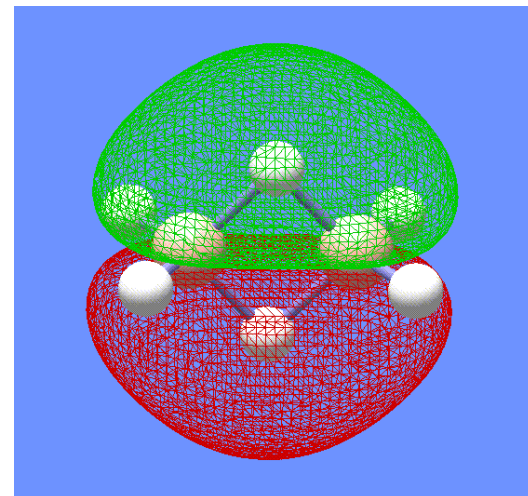
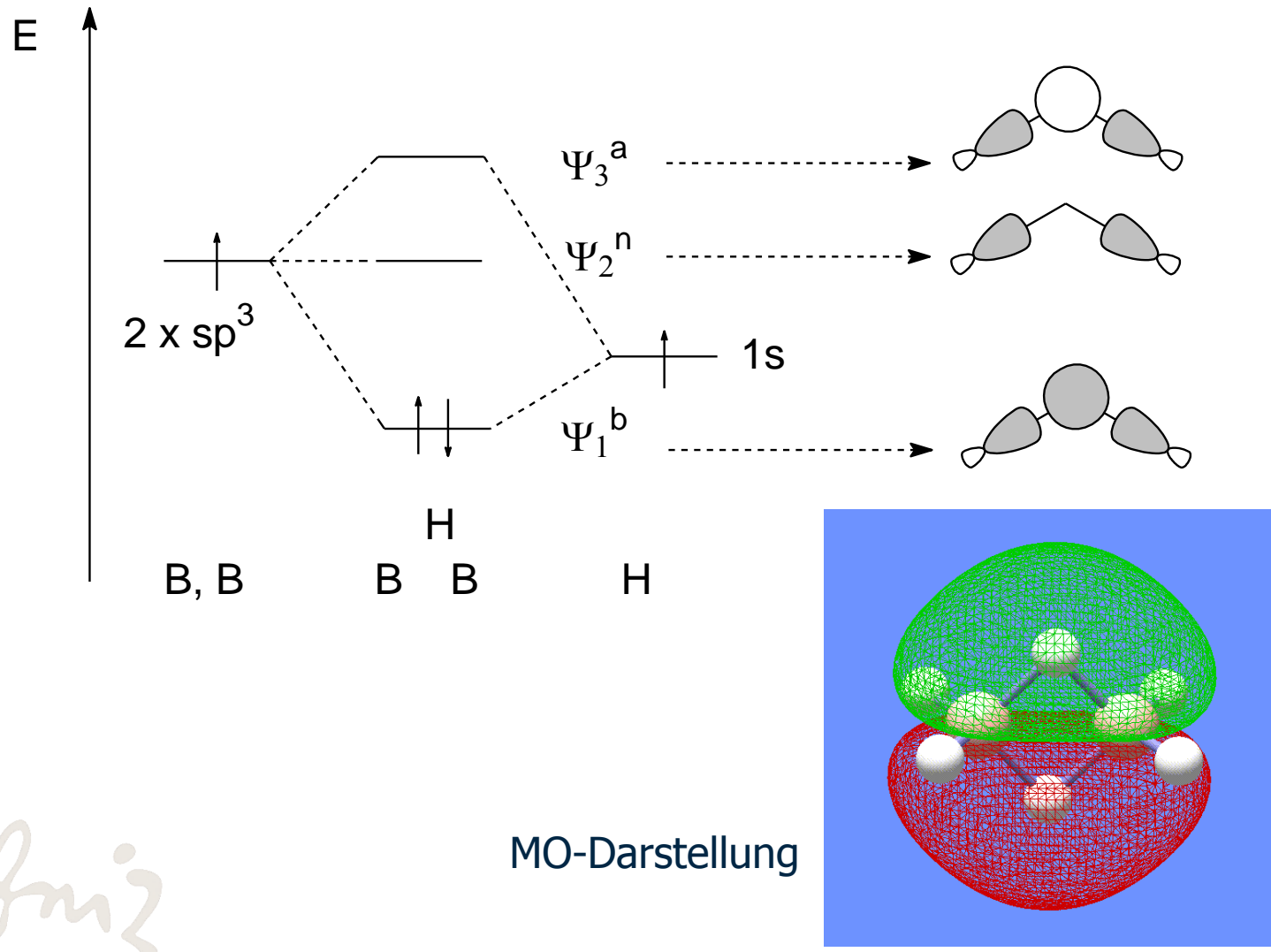
Gleichgewicht:



MO-Diagramm unter Verwendung delokalizierter MO's



Die Dreizentrenbindung im Diboran



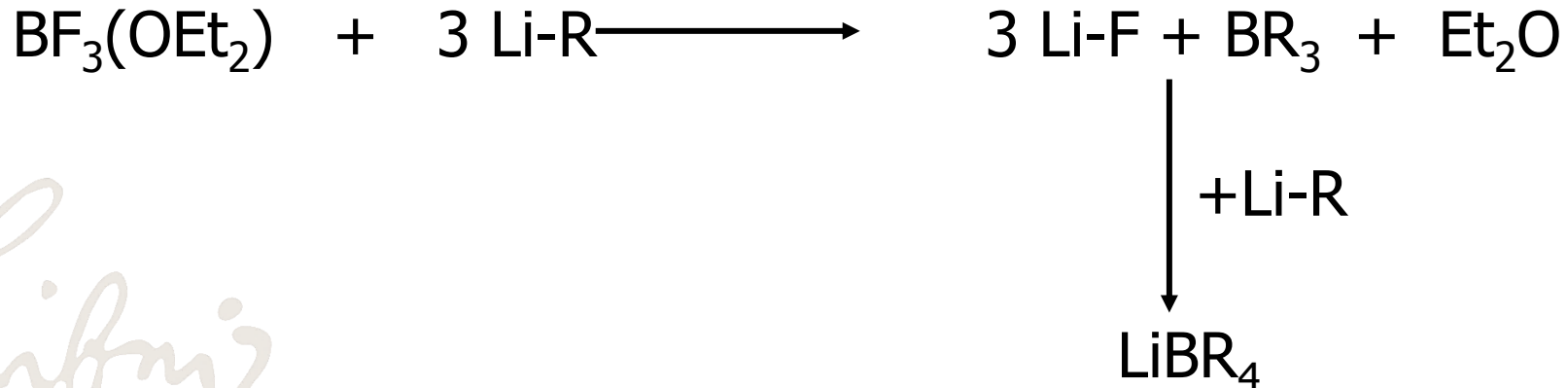
B-C Verbindungen: Synthese

BR₃

$$\begin{aligned}E_{\text{Diss}}(\text{B-F}) &= 646 \text{ kJ/mol} \\E_{\text{Diss}}(\text{B-O}) &= 526 \text{ kJ/mol} \\E_{\text{Diss}}(\text{B-N}) &= 500 \text{ kJ/mol} \\E_{\text{Diss}}(\text{B-H}) &= 372 \text{ kJ/mol} \\E_{\text{Diss}}(\text{B-C}) &= 352 \text{ kJ/mol} \\E_{\text{Diss}}(\text{C-C}) &= 345 \text{ kJ/mol} \\E_{\text{Diss}}(\text{B-B}) &= 310 \text{ kJ/mol}\end{aligned}$$

Synthese

1.) Metathese



Darstellung

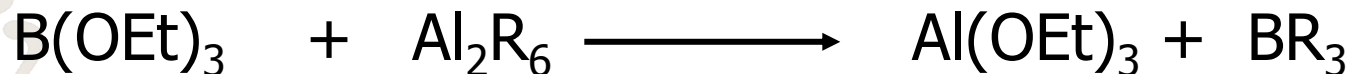
besser:



$\text{R} = \text{-Alkyl, -Aryl, -C}_6\text{F}_5$

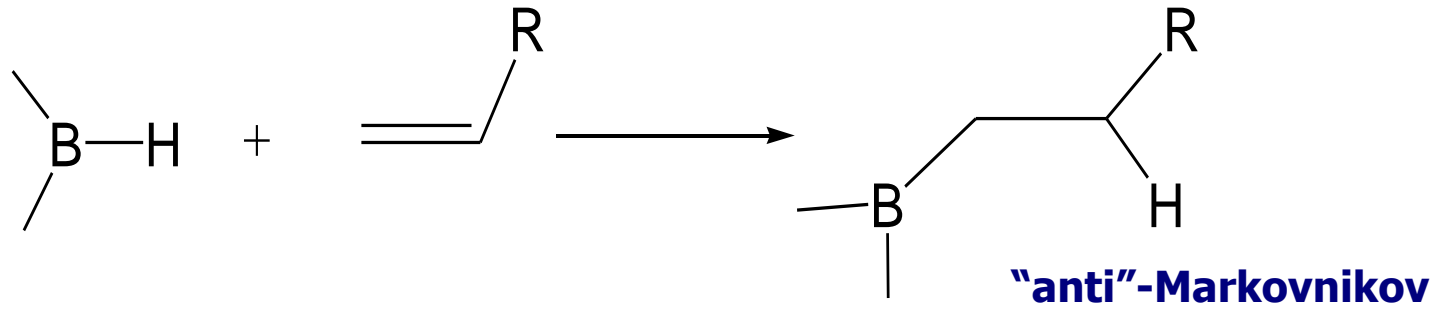
Auf genaue Stöchiometrie achten, da sonst
“at”-Bildung

im Gegensatz:

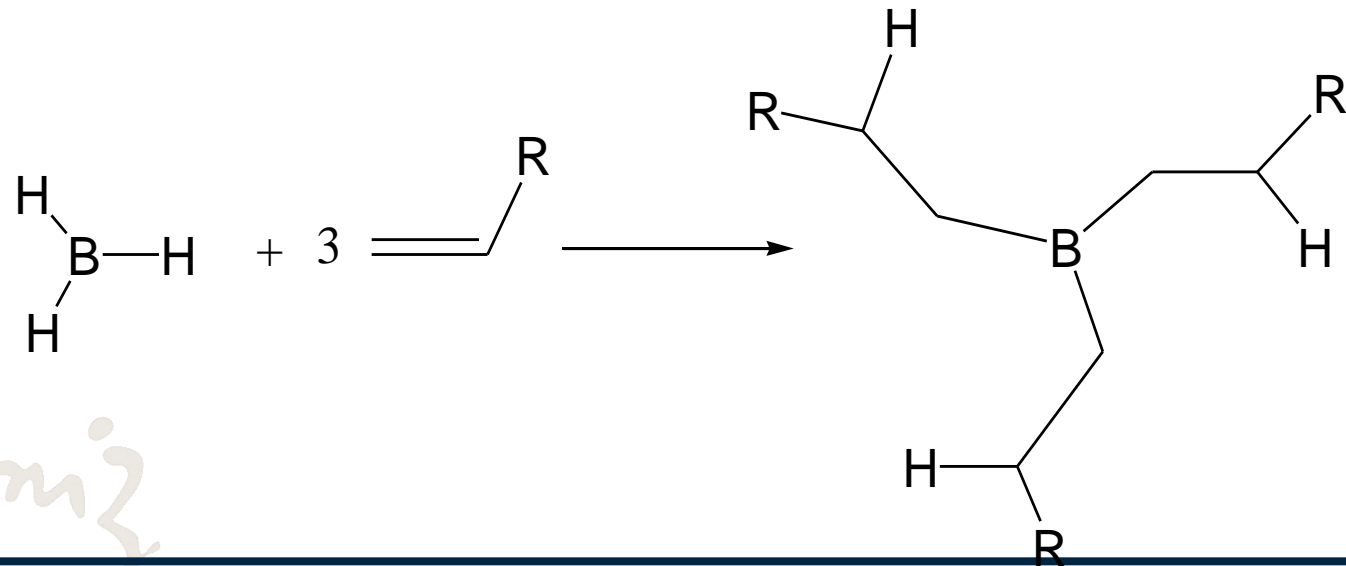


Darstellung

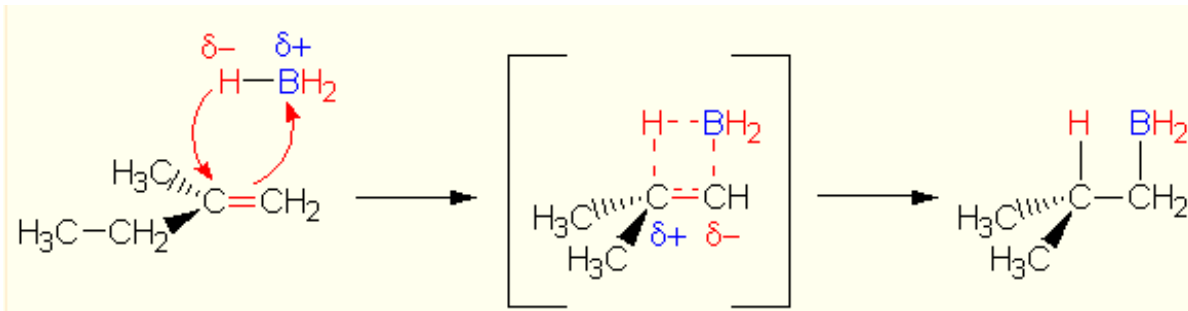
2.) Hydroborierung (H. C. Brown, Nobelpreis 1979 (mit Wittig))



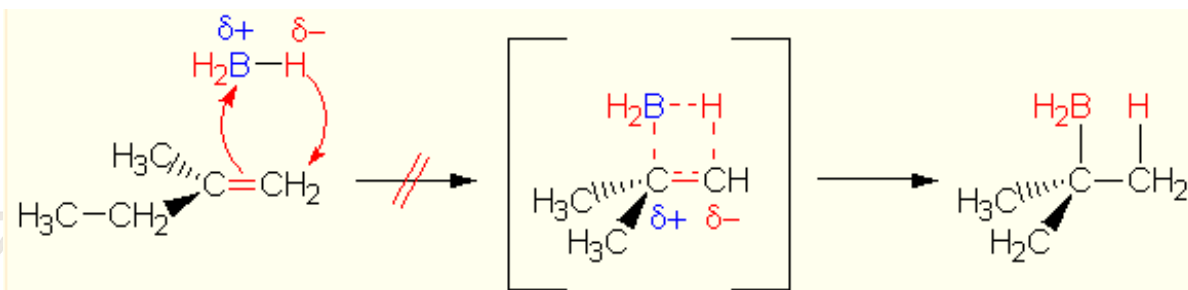
oder 3-fach



anti-Markovnikov



Beobachtetes
Produkt

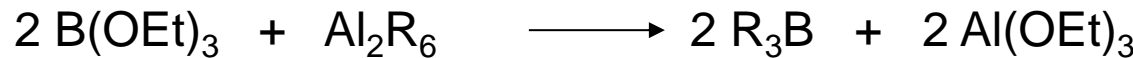
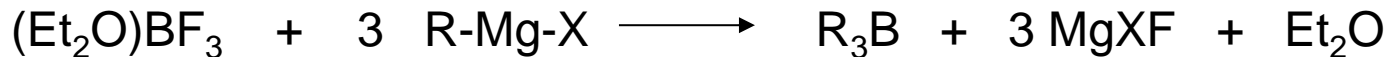


Nicht beobachtetes
Produkt

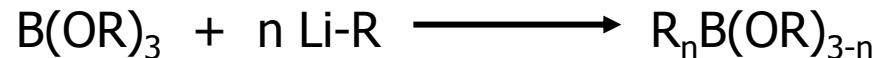
Darstellung binärer Verbindungen

3.) Darstellung mittels Grignard

Binäre Verbindungen



Metathese



RB(OR)_2
 $\text{R}_2\text{B(OR)}$

Boronsäureester
Borinsäureester



Eigenschaften

BR_3 ist relativ robust gegen Wasser

aber BMe_3 ist an Luft pyrophor !!

BR_3 R=Me Gas bei 298 K

 R=Et Sdp. 95 °C

 R=*n*Bu Sdp. 208 °C

EN(B) = 2.0

EN(C) = 2.5 → Kovalente Bindung



Lewis-saurer Charakter von Boranen

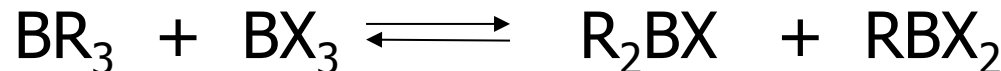
- Bildung von Addukten

Darstellung von Halogen-Boranen R-BX₂

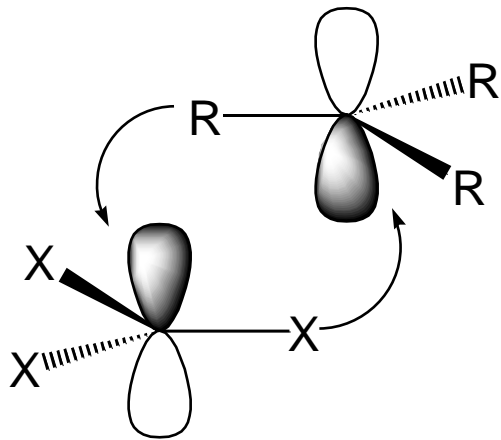
a) Nucleophiler Angriff



b) Kommutierung



Postulierter Mechanismus - Kommutierung



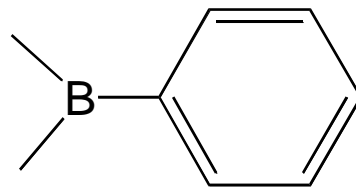
Analog 3-Zentren-4-Elektronenbindung

Strukturen und Reaktivität

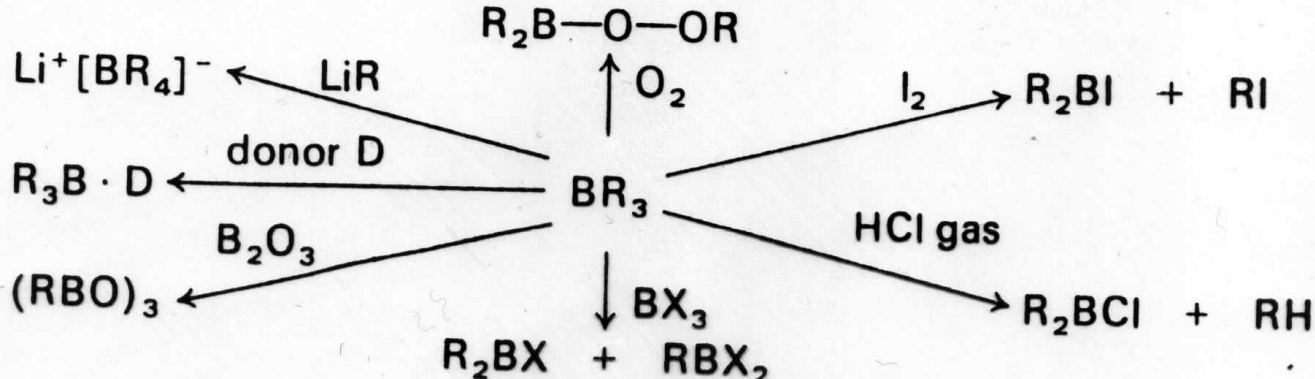
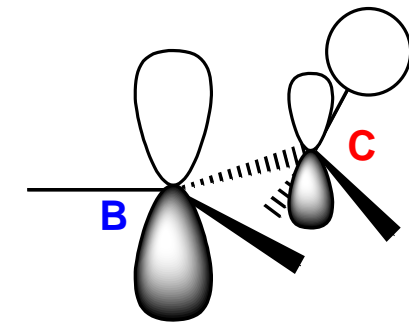
trigonal planar = hohe Lewis Acidität!!

Stabilisierung durch

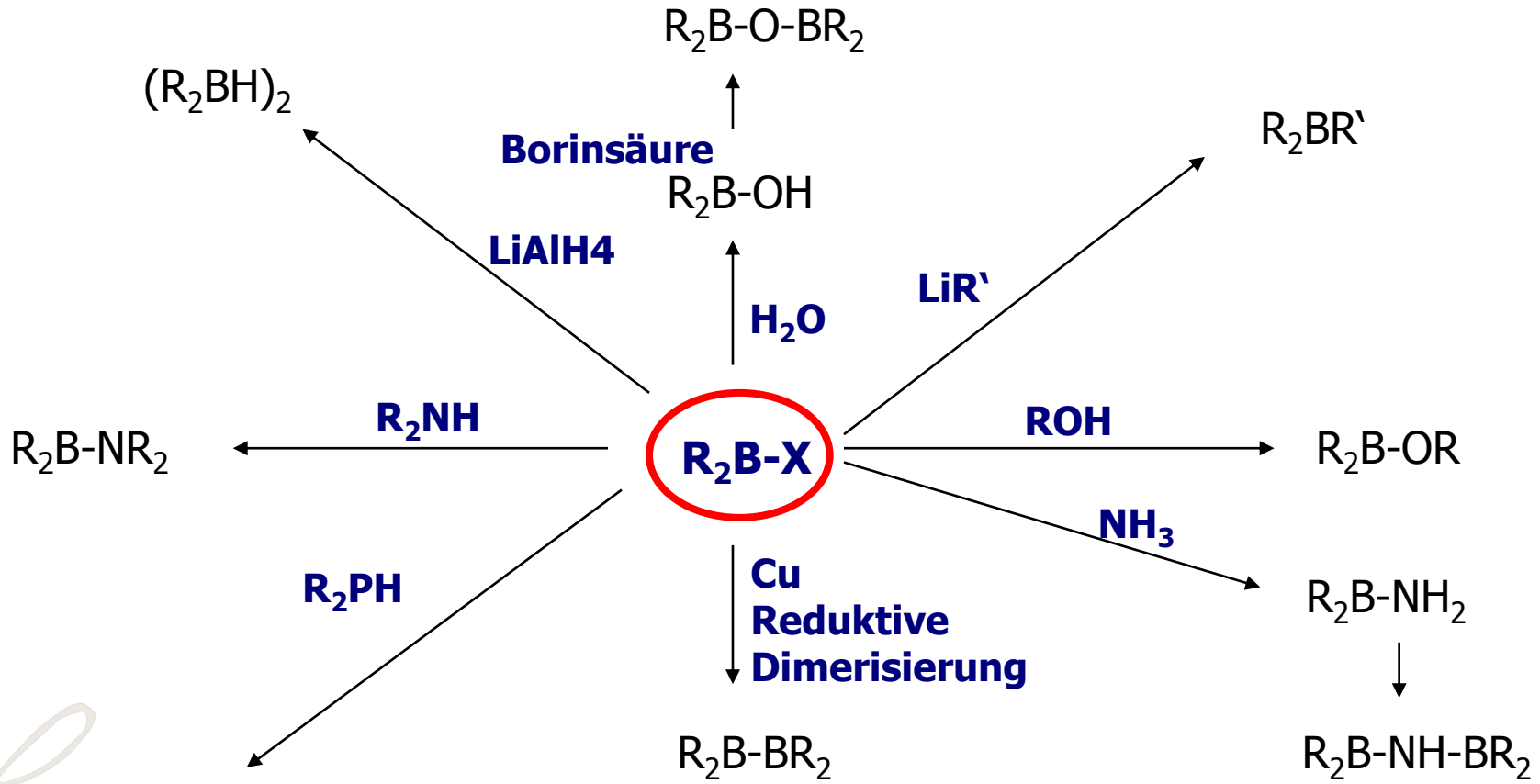
a) Hyperkonjugation



b) Resonanzstabilisierung



Reaktivität von Haloboranen



Tetraorganoborate

- Tetraorganoboranate $[\text{BR}_4]^-$
- analytische Anwendung – **Kalignost** (Kalium erkennend)

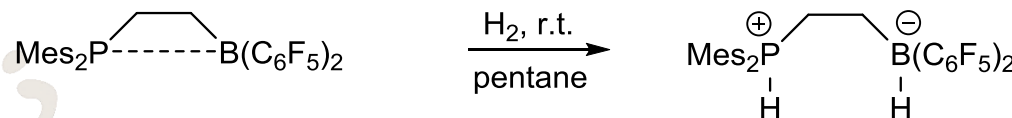
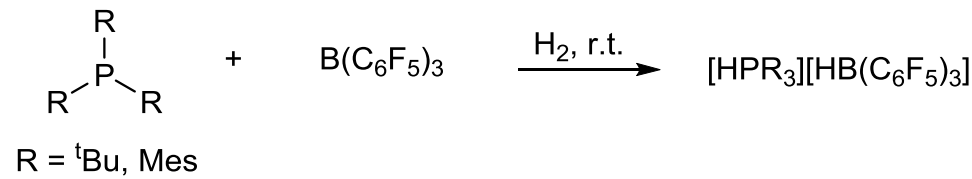
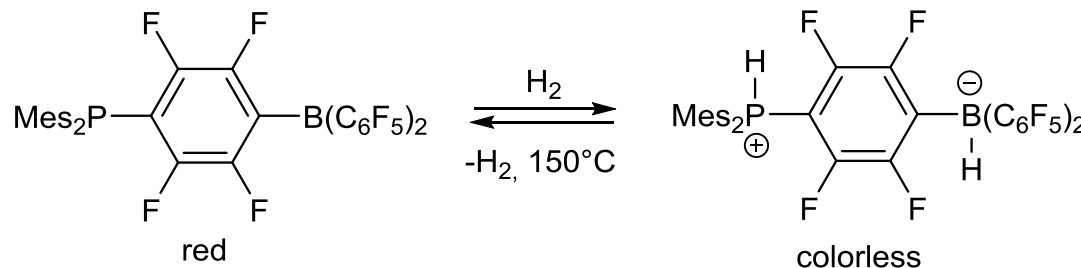


- Bildet schwerlösliche Salze mit Kalium, Rubidium, Caesium und Thallium(I)



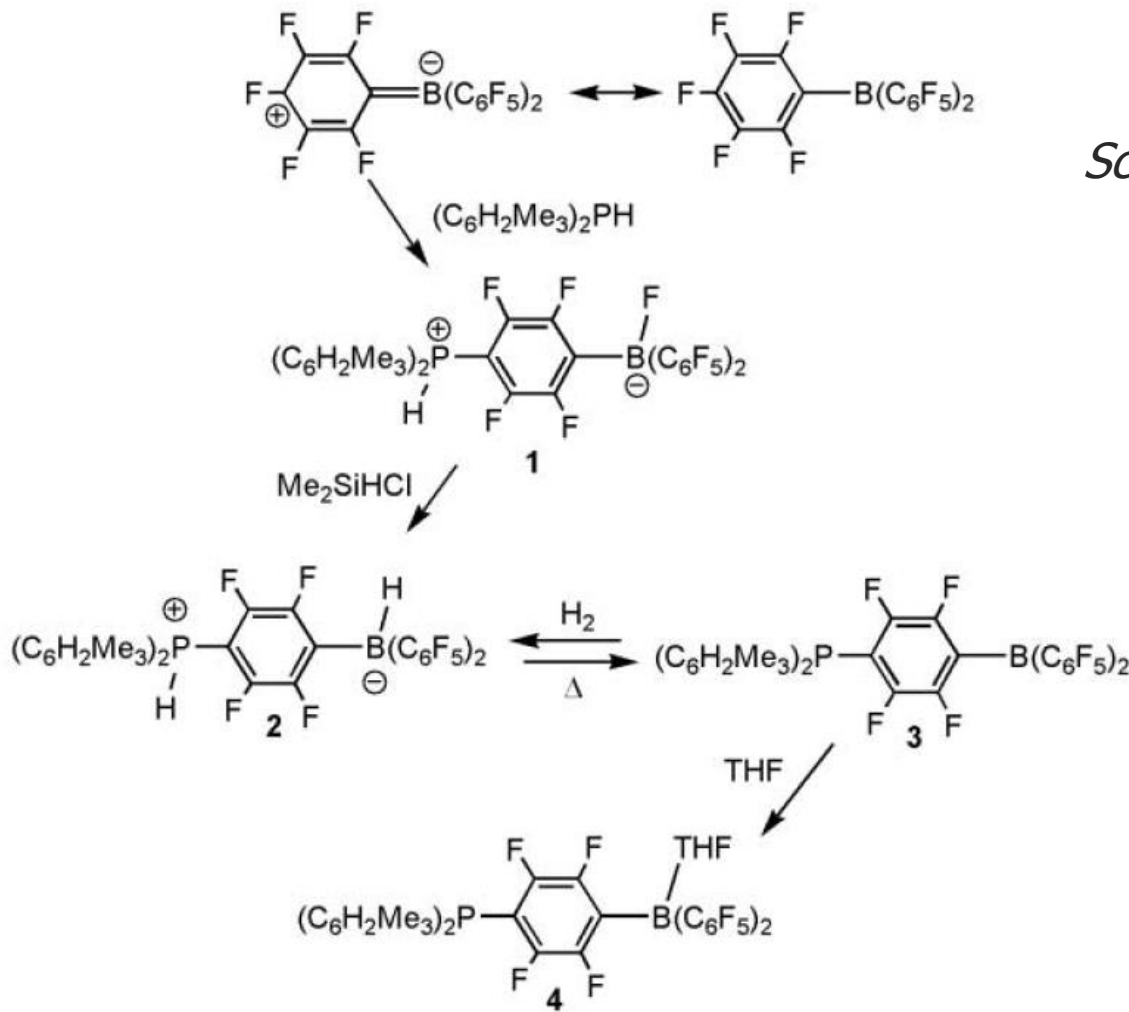
FLP's – Frustrierte Lewis-Säure-Base-Paare

Die Kombination sterisch gehinderter Lewis-Säuren und -Basen führt nicht zur üblichen Neutralisationsreaktion unter Bildung der „klassischen“ Lewis-Säure/Base-Addukte. Stattdessen stehen die Lewis-Acidität und -Basizität solcher „frustrierten Lewis-Paare“ (**FLPs**) gemeinsam für die Durchführung ungewöhnlicher Reaktionen, wie **H-H-, N-H-, C-H, CO₂, ... -Aktivierung** zur Verfügung.



D. Stephan, G. Erker, *Angew. Chem. Int. Ed.* **2015**, *54*, 6400.

Highlights: H₂-Speicher ohne Metall



Science 2006, 314, 1124





Highlights: Aktivierung kleiner Moleküle

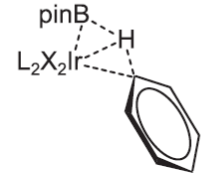
- Aktivierung von CO₂, N₂O und SO₂



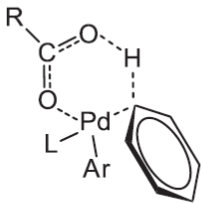
Highlights: Metallfreie CH-Aktivierung

- Rationales Design eines B/N-FLP's zur CH-Aktivierung von C_{sp}²-H Bindungen (Fontaine et al.)

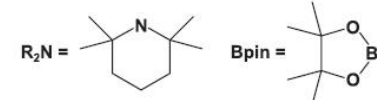
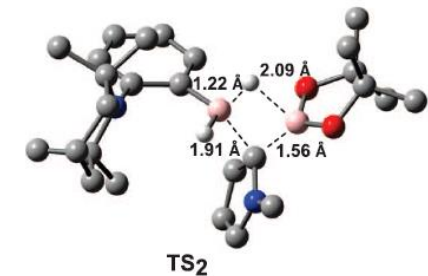
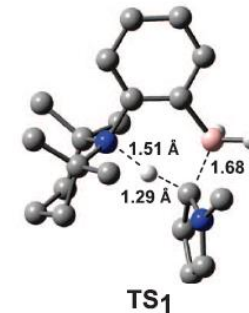
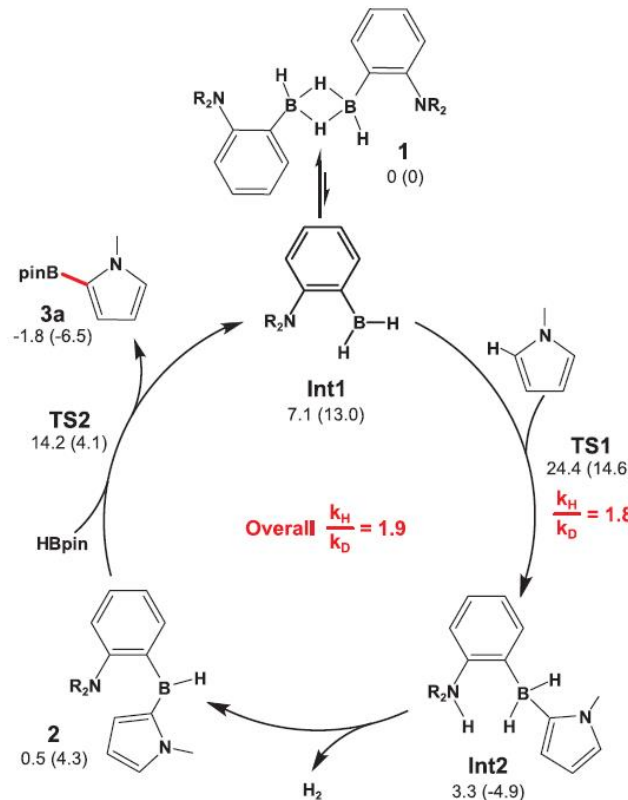
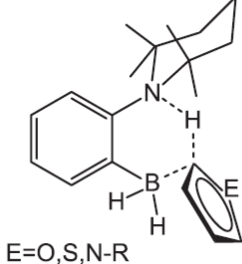
A Boryl-assisted C-H bond activation



B Concerted metalation deprotonation



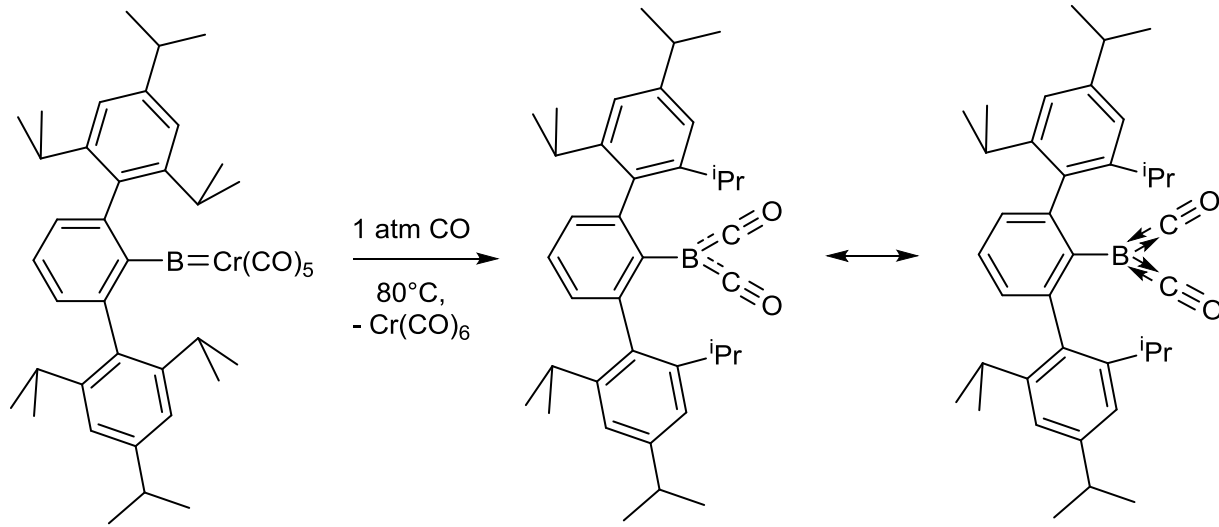
C Metal-free C-H bond activation



M.-A. Légaré, M.-A. Courtemanche, É. Rochette, F.-G. Fontaine, *Science* **2015**, *349*, 513.

Highlights: CO-Komplexe

- Terminale Borylen-Komplexe $(CO)_5M=B$ -Tip als Quelle für hoch reaktives Borylen R-B → zeigt ÜM-ähnliches Verhalten



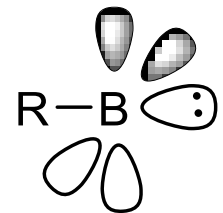
Gelb

$\delta(^{11}B) = 155$ ppm

Blau

$\delta(^{11}B) = -32$ ppm

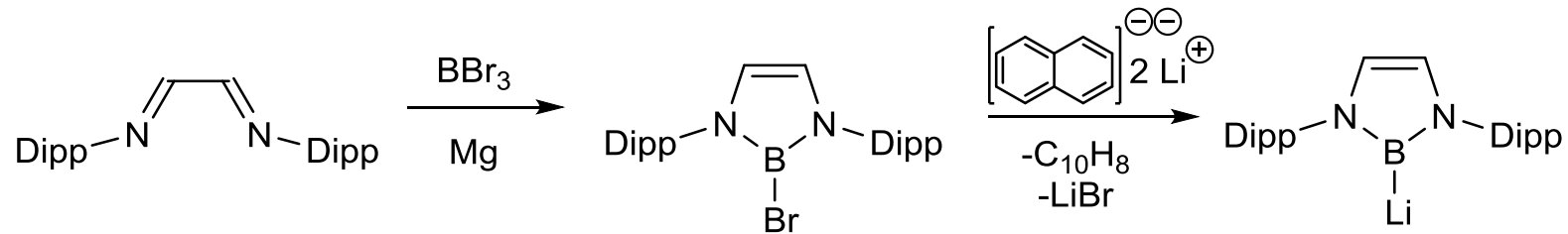
ν (IR) = 1942, 2060 cm⁻¹



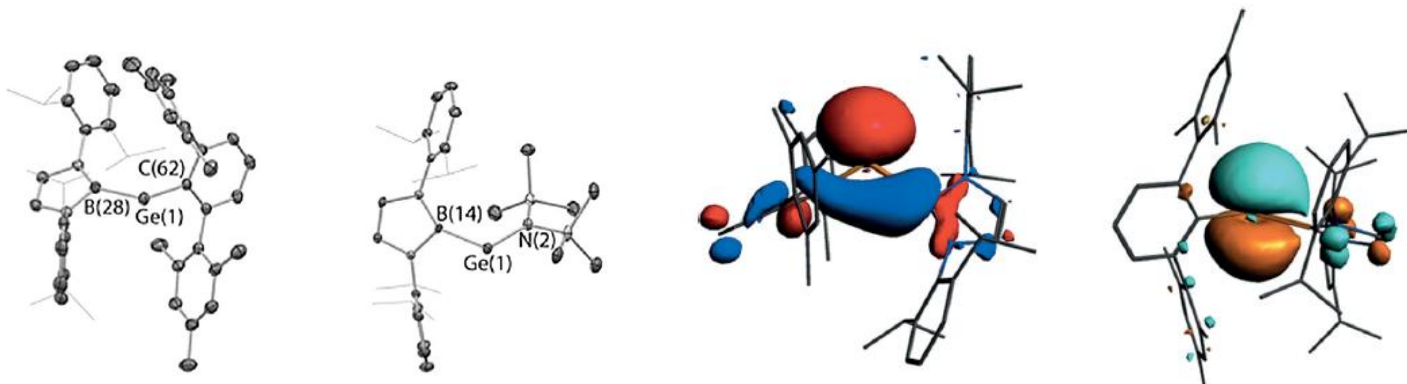
H. Braunschweig, R. D. Dewhurst, F. Hupp, M. Nutz, K. Radacki, C. W. Tate, A. Vargas, Q. Ye, *Nature* **2015**, 522, 327.

Bor: Jetzt auch Nucleophil

- N -heterozyklische Boryl-Anionen (Yamashita et al.)



- Boryl-Lithium zur Stabilisierung niedervalenter Ge-Verbdg.

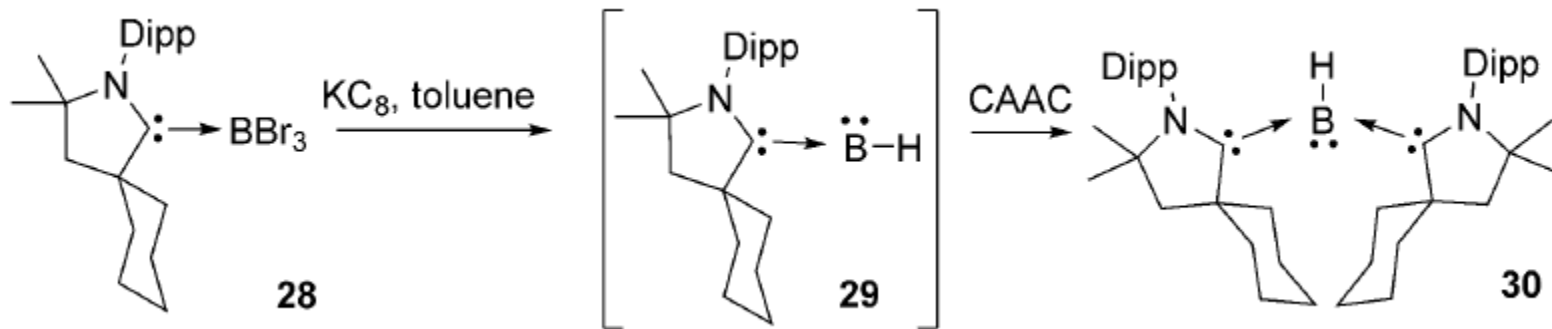


- Sind gute π -Akzeptor-Liganden \rightarrow Tuning der HOMO-LUMO-Lücke

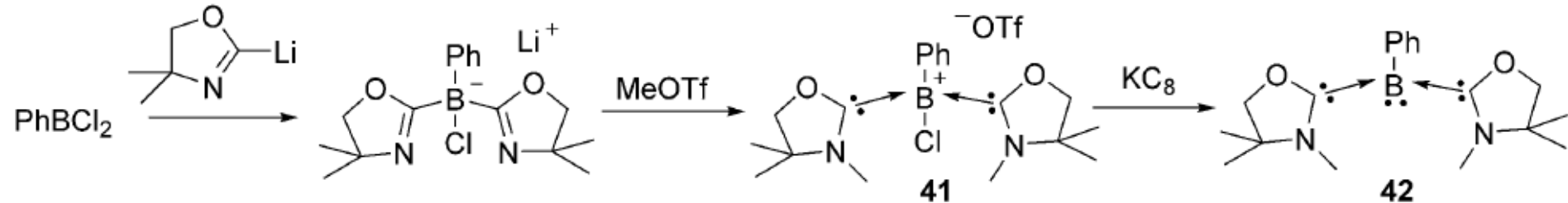
Y. Segawa, M. Yamashita, K. Nozaki, *Science* **2006**, *314*, 113

Bor: Jetzt auch Nucleophil

- Stufenweise Synthese eines Bis-Donor-Stabilisierten Borylenes



- Alternative Route konnte durch Kinjo et al. gezeigt werden



R. Kinjo, B. Donnadieu, M. A. Celik, G. Frenking, G. Bertrand, Science 2011, 333, 610; b) L. Kong, Y. Li, R. Ganguly, D. Vidovic, R. Kinjo, Angew. Chem. Int. Ed. 2014, 53, 9280.

technisch wichtigste Organometallverbindungen

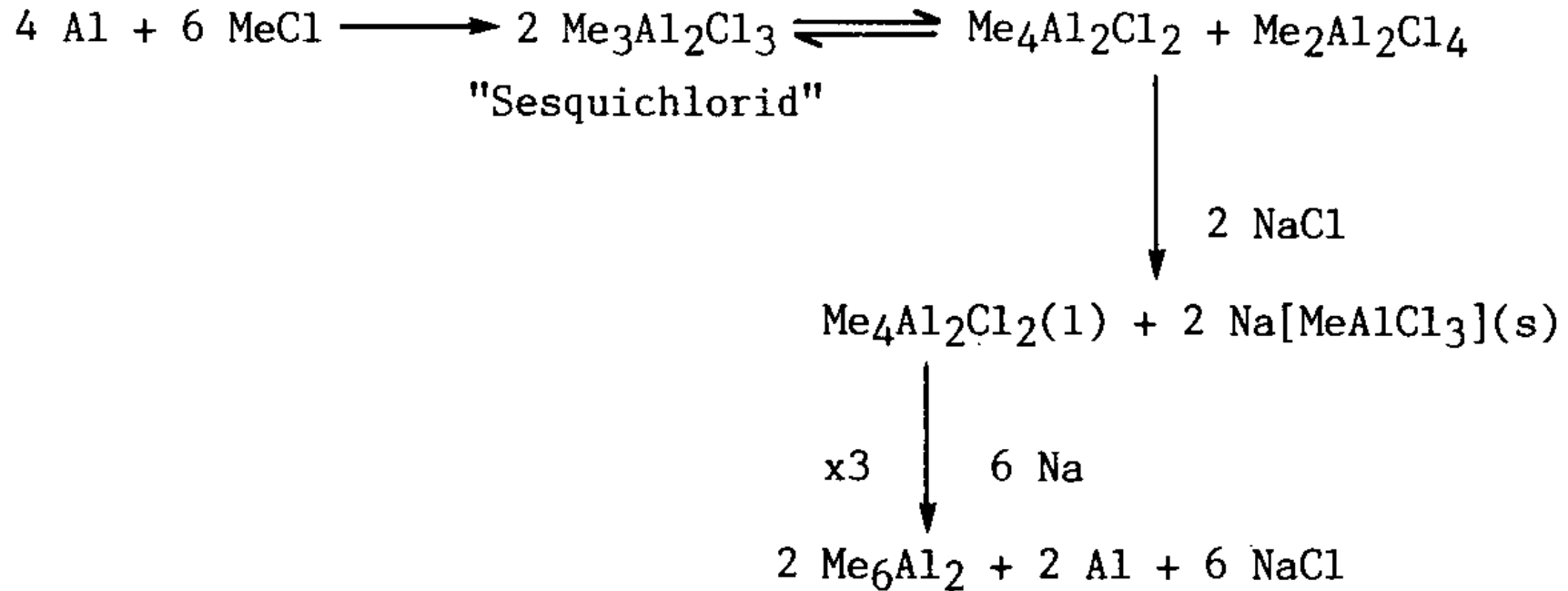
> 50000 t/a

WICHTIG: Ziegler-Natta Polymerisation 1952

- K. ZIEGLER, G. NATTA in den 50ern
- früher meist auf das Lösungsmittel Diethylether beschränkt
- addieren bereitwilligst an Alkene und Alkine
- Regio- und Stereoselektiv
- stellen Derivate des billigsten verfügbaren Metalls dar
- kostengünstige Alternative zu den Lithium- und Magnesiumalkylen

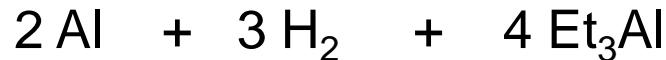

$$R = Me, Et$$

Technische Darstellung: AlMe₃



ehem. HÜLS AG, ehem. Neue Degussa, dann DEGUSSA jetzt **EVONIK**

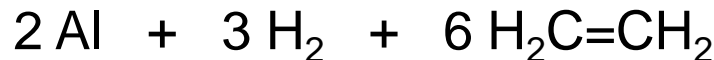
Et₃Al Darstellung - Hydroaluminierung



Vermehrung



Anlagerung



Summe

ZIEGLER-Direktverfahren

Auch für andere Alkene H₂C=CR₂, H₂C=C(H)R



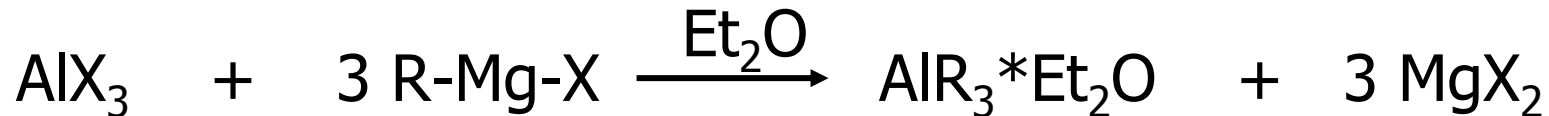
Darstellung

Direkt:



aber:

Metathese:

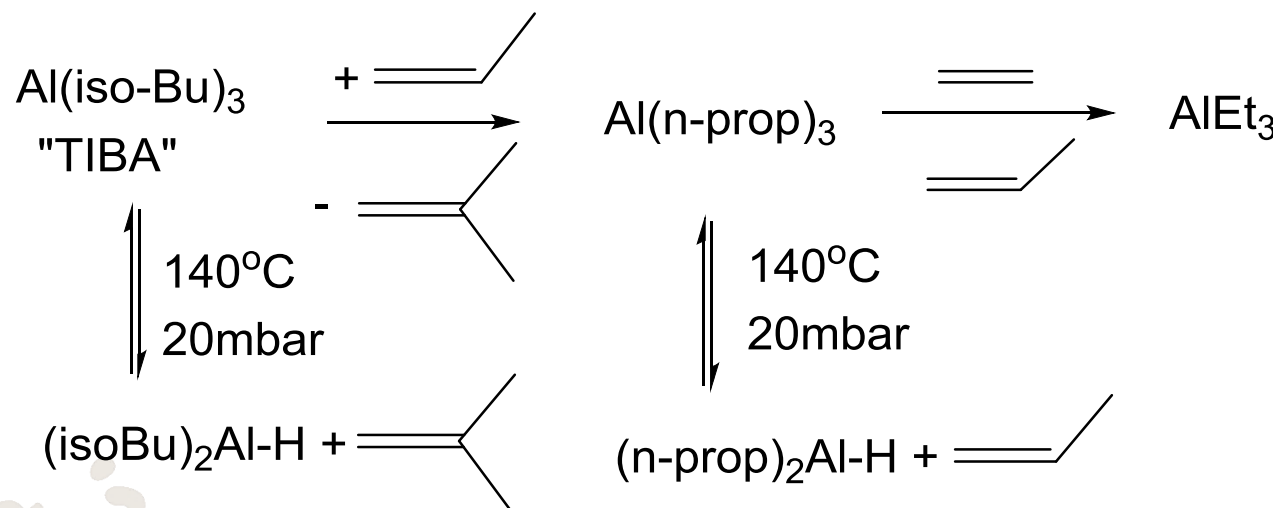
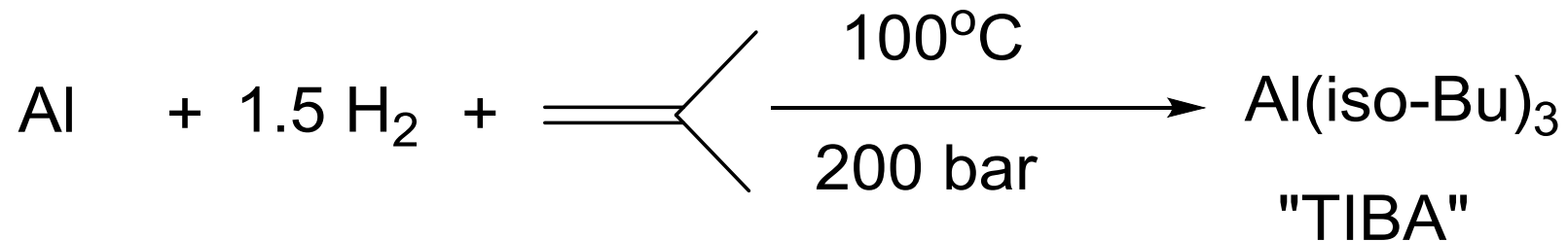


Adduktbildung

Transmetallierung:

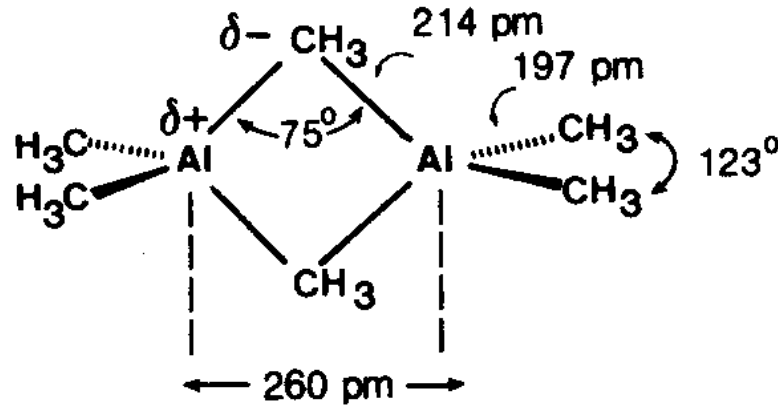


Darstellung

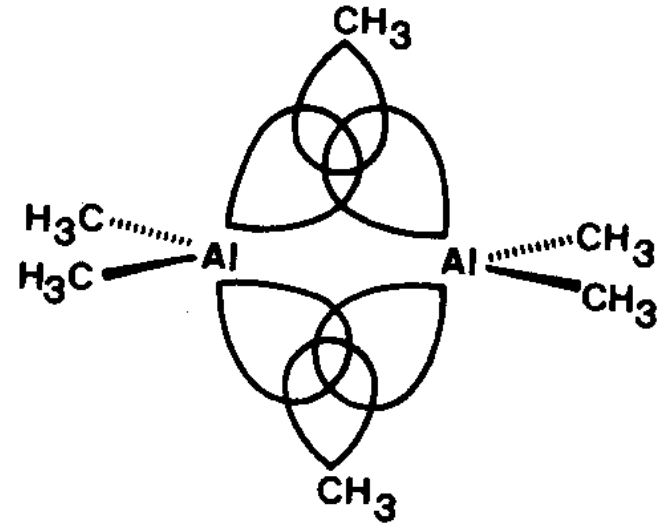


Bindung

Strukturparameter
für $Al_2(CH_3)_6$



$Al-C-Al$ (2e3c) Bindungen
in $Al_2(CH_3)_6$

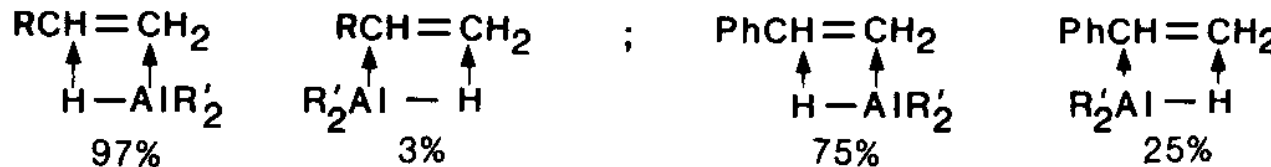


- Tendenz zur Dimerisierung
- große (sperrige) organische Reste wirken dem Entgegen ($i\text{-}Bu_3Al$)

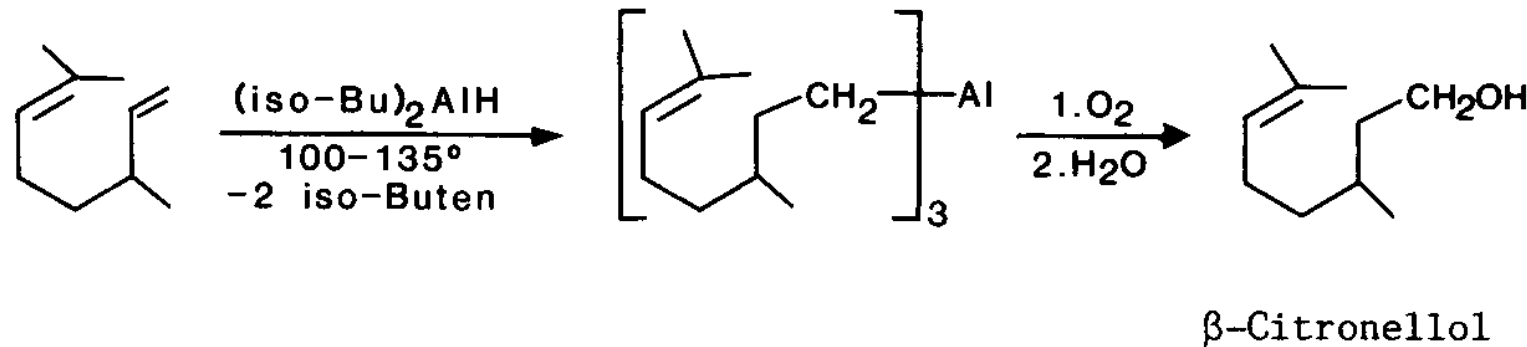
Reaktivität

- Hydroaluminierung

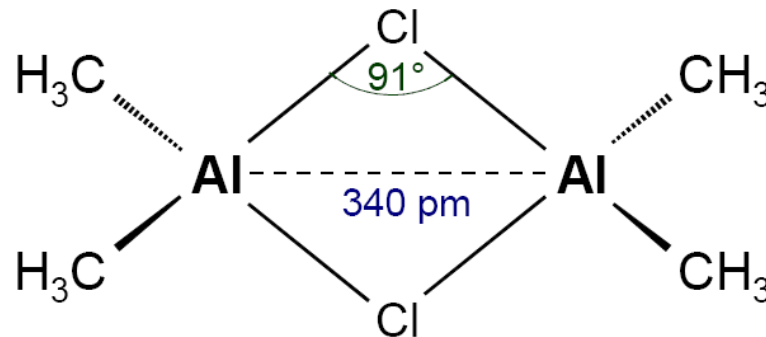
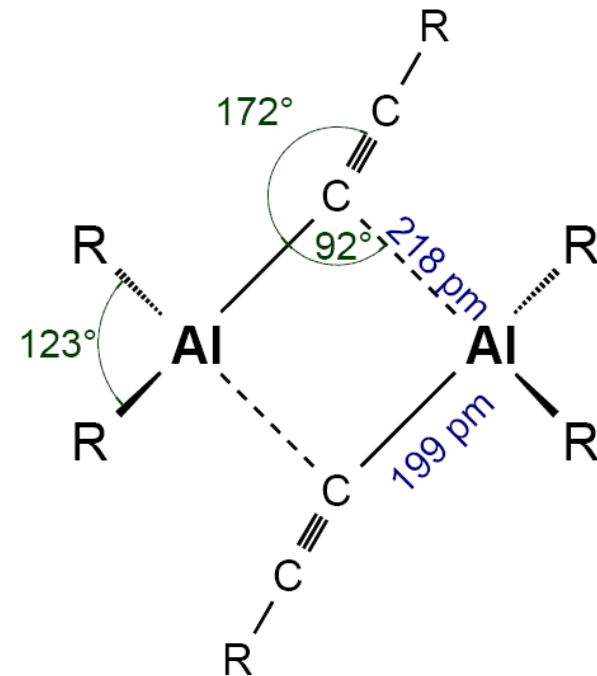
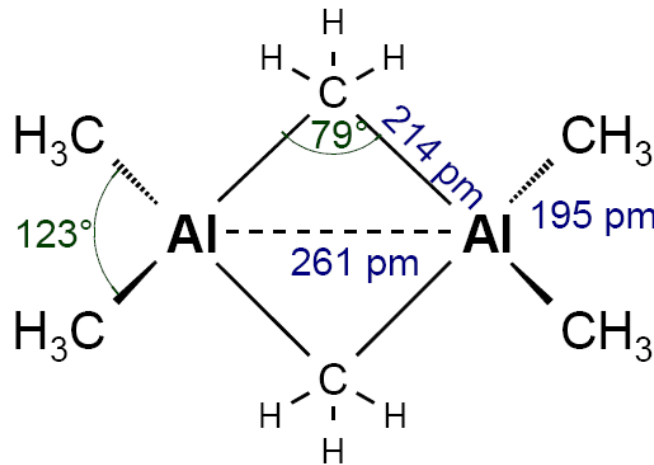
stereoselektiv, aber Regioselektivität variiert mit Rest R



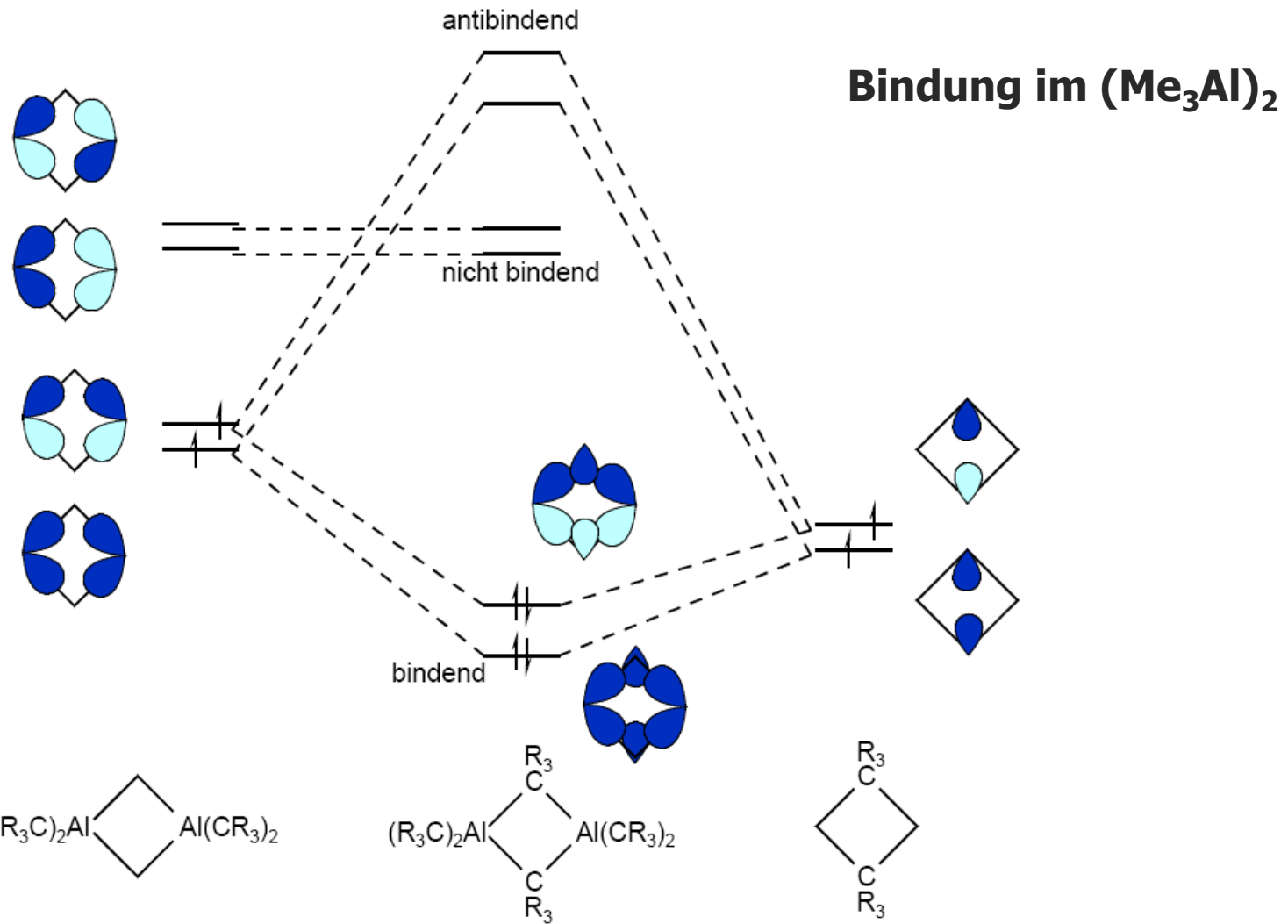
Anwendungsbeispiel:



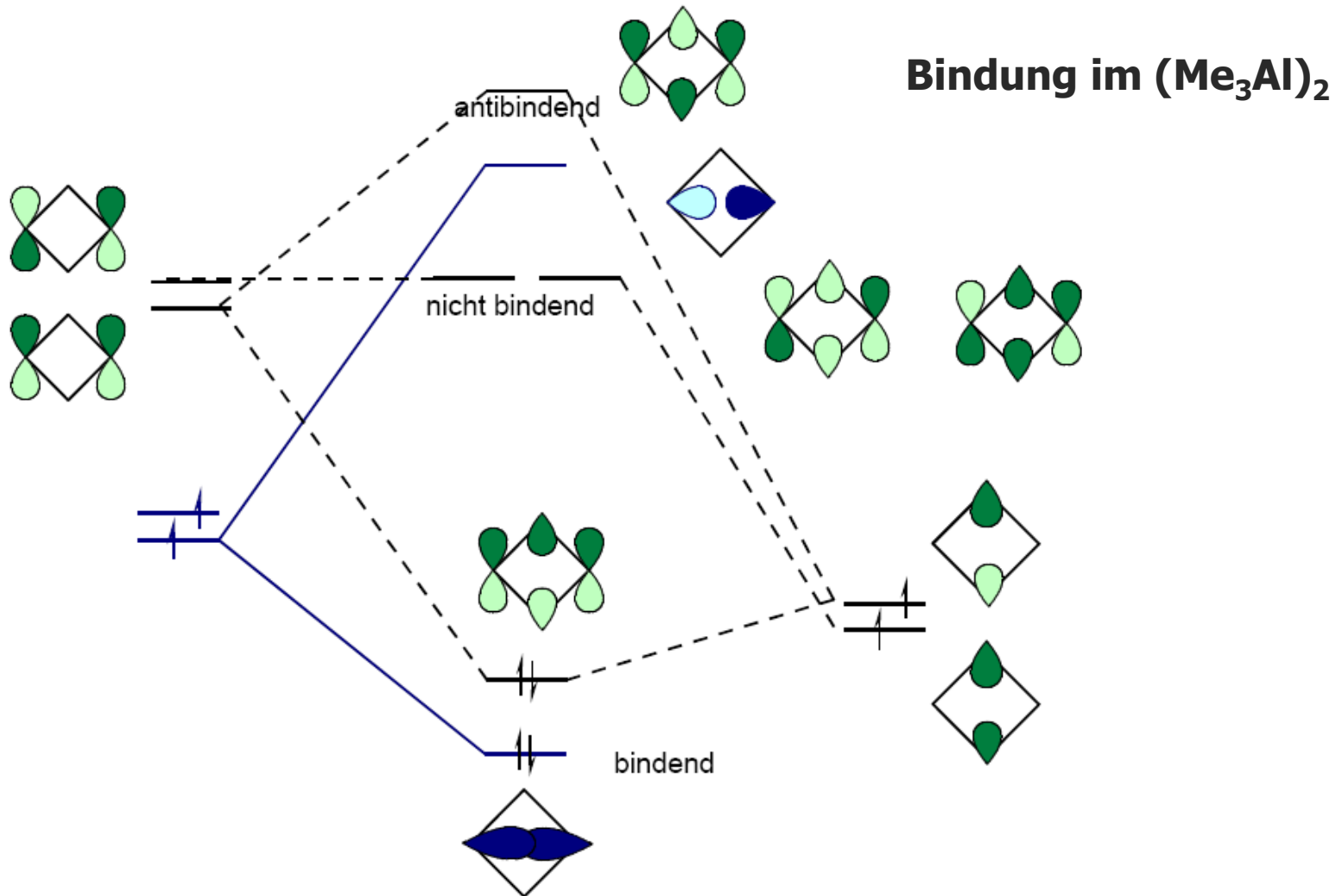
Struktur



Modell 1: 2 x 2e-3c-Bindung



Modell 2: 1x 2e-2c und 1x 2e-4c Bindung





Eigenschaften

AlR_3 R=Me, Et, Butyl

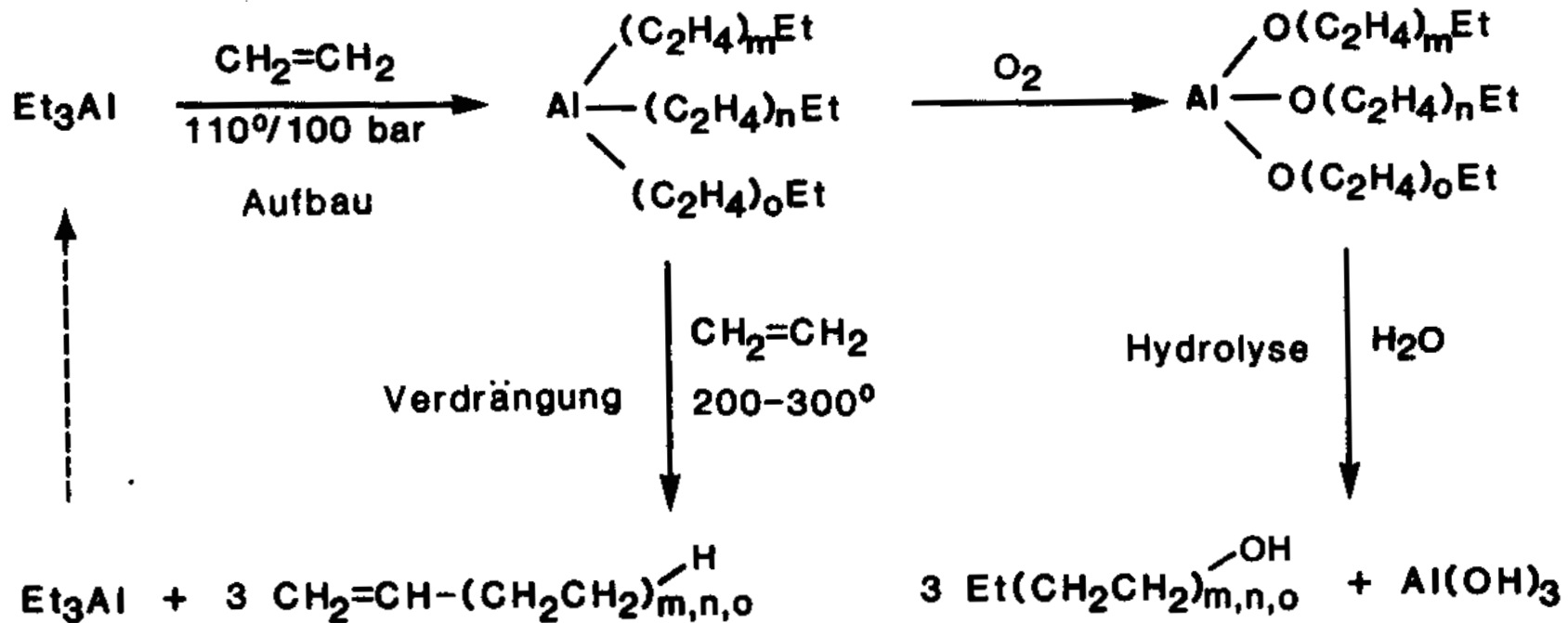
farblose Flüssigkeiten !

extrem Pyrophor !!!!!
(nur mit speziellem Schutzanzug!)

Starke Lewis-Säuren stabilisieren sich durch:

- 1) $\text{AlR}_3 + \text{Base} \longrightarrow \text{R}_3\text{Al-B}$
- 2) β -Hydrideliminierung
- 3) Dimerenbildung

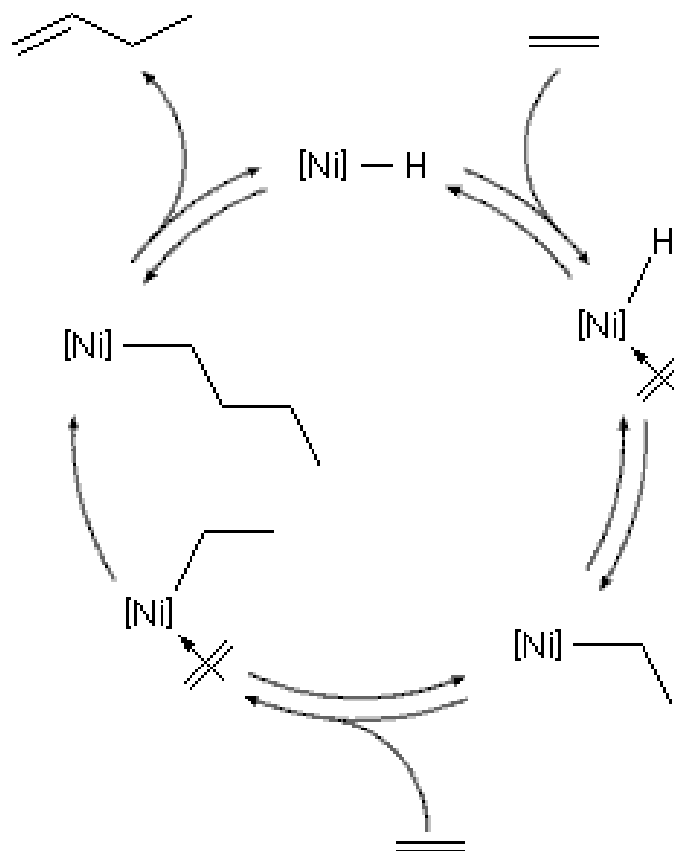
Al-Organyle: Technische Anwendungen



ZIEGLER - Aufbaureaktion

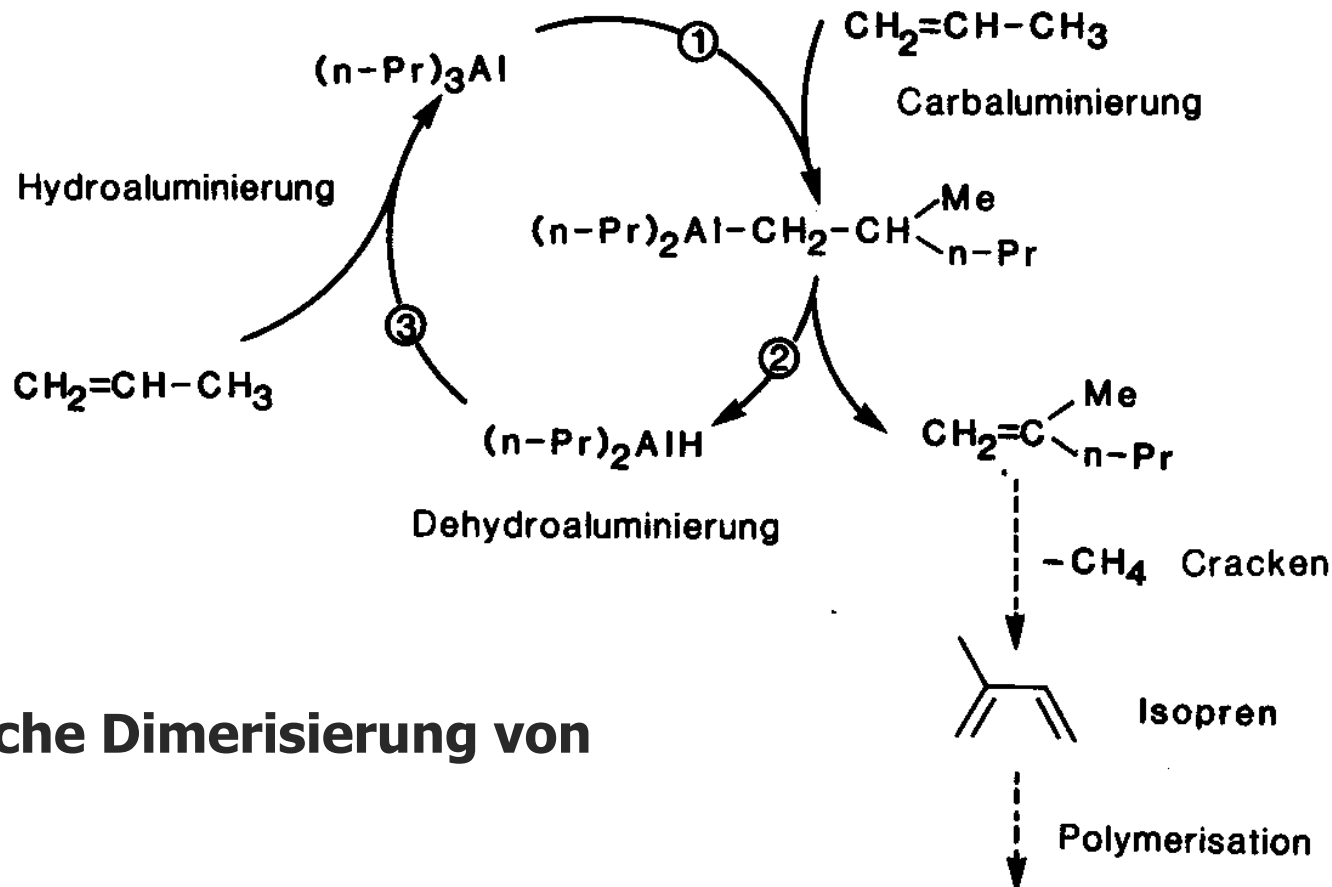
- Dient zum **Aufbau von 1-Alkenen** und **unverzweigten Alkoholen**
- letztere dienen zum **Aufbau von Fettsäuren**

Der Nickeleffekt



Bei Untersuchungen zur Aufbaureaktion (1953) mit Et_3Al hatten sich anstelle langkettiger Alkylaluminiumverbindungen nur Butene gebildet.

Katalytische Dimerisierung von Propylen



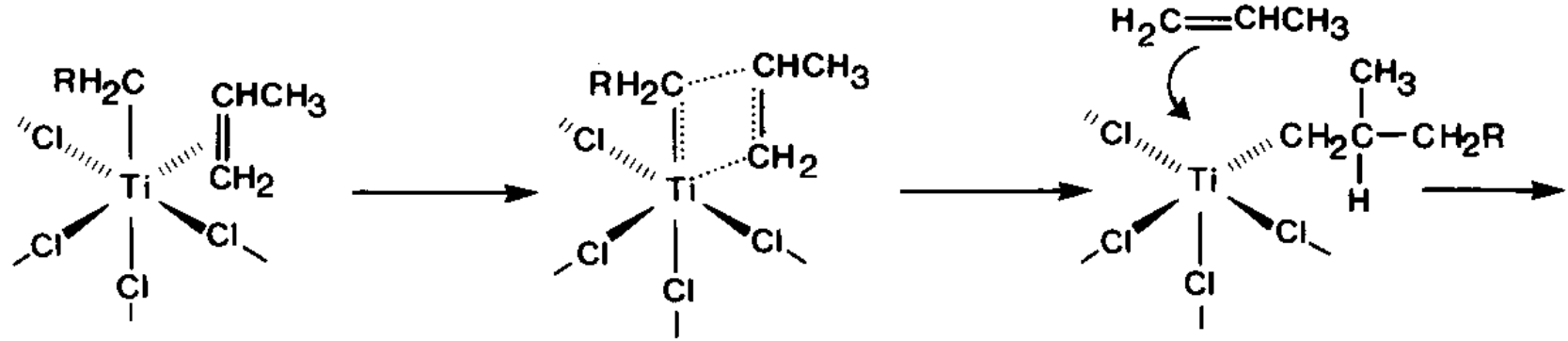
Katalytische Dimerisierung von Propen

Literatur

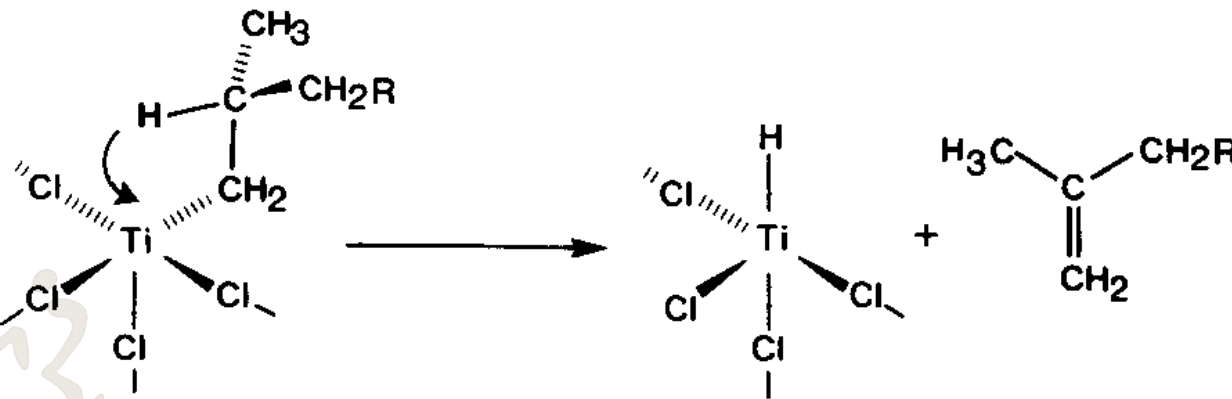
CHIUZ 1994, 28, 197-208, Chem. Rev. 2000, 4 komplett

Al-Organyle: Technische Anwendungen

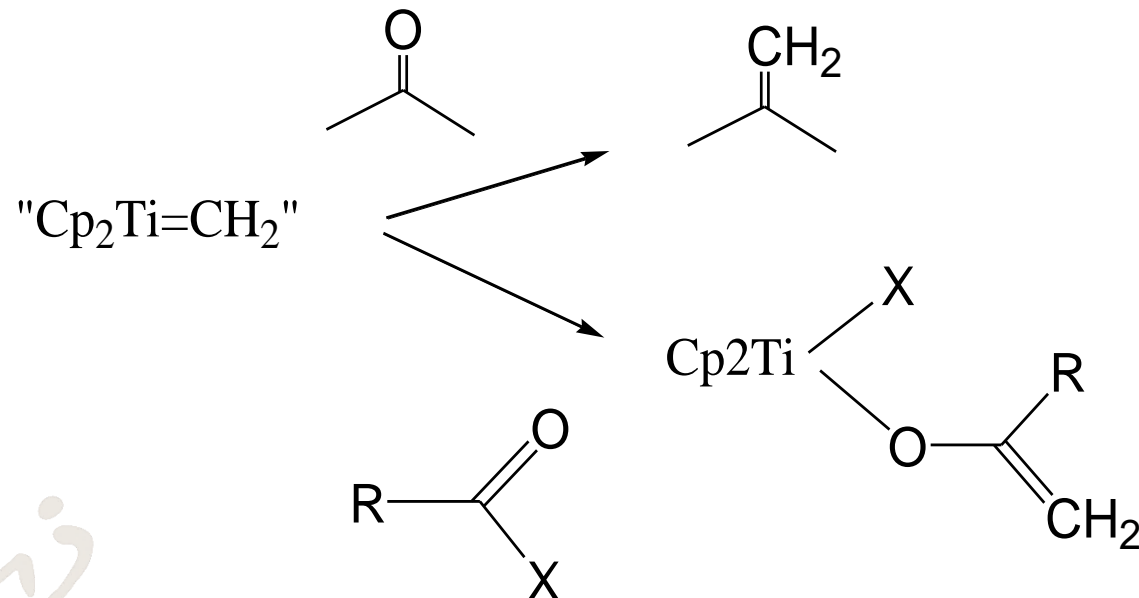
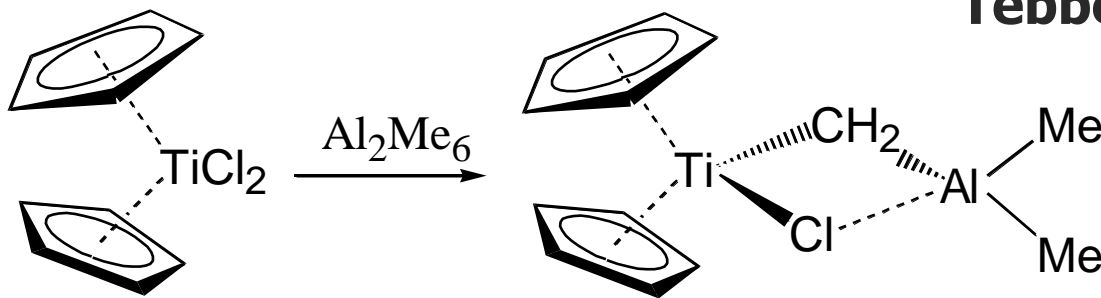
ZIEGLER-NATTA-Niederdruckverfahren mittels $\text{Et}_3\text{Al}/\text{TiCl}_4$



Kettenabbruch:



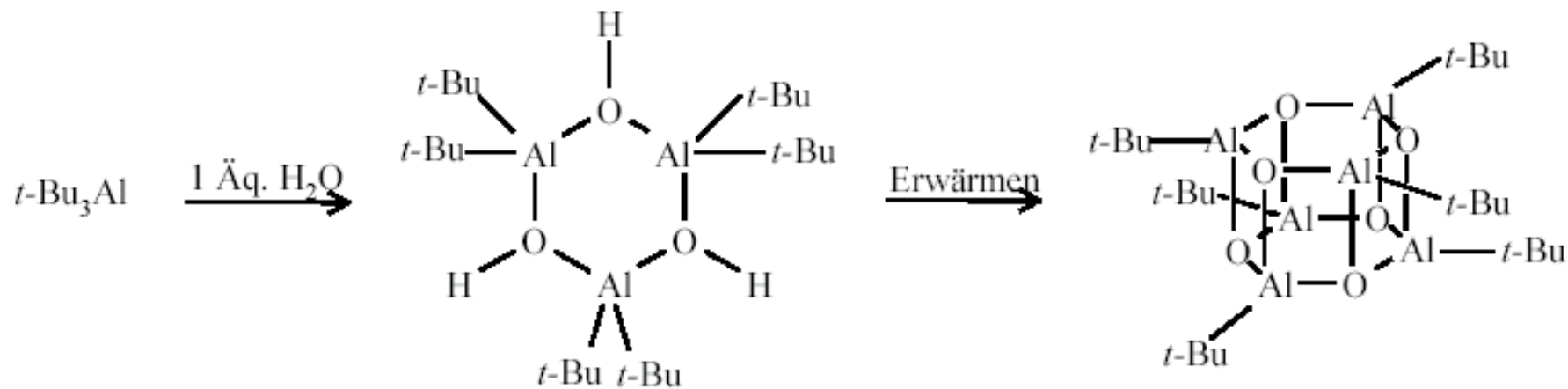
Tebbes Reagenz



Anwendung: MAO

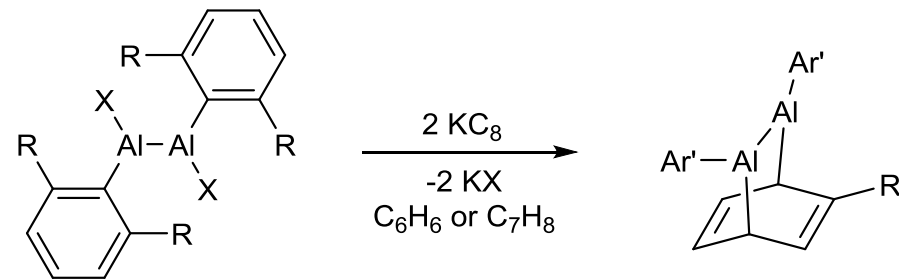
JACS 1993, 115, 4971

MAO
Methylalumoxan

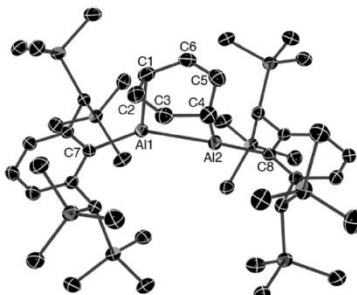


Moderne Aluminumorganyle

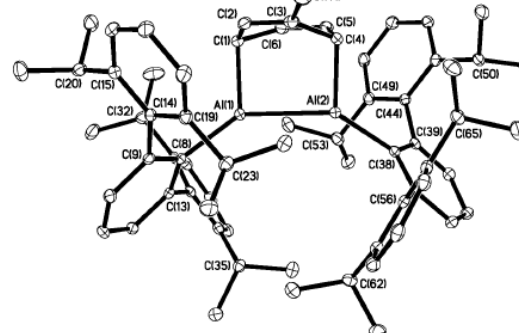
- Bereits 2002 erste „Synthone“ für Diallumene, formal Al=Al Doppelbindung → trans-bent Struktur
- Stabilisierung über [4+2]-Cycloadditionen mit LM



R = CH(SiMe₃)₂ (Bbp), X=Br
R = 2,6-ⁱPr₂C₆H₃ (Ar[#]), X=I



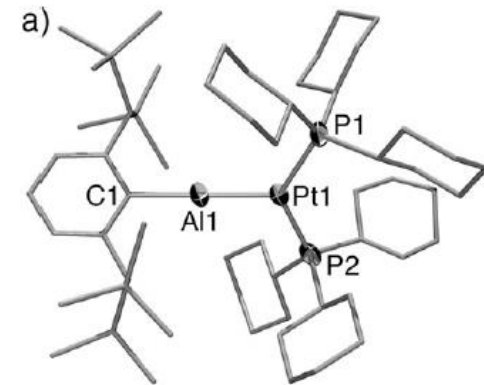
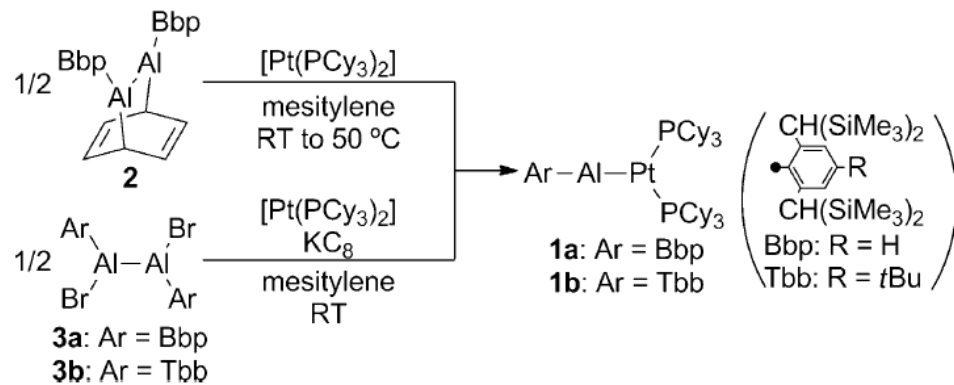
Ar' = Bbp (R=H), Ar[#] (R=Me)



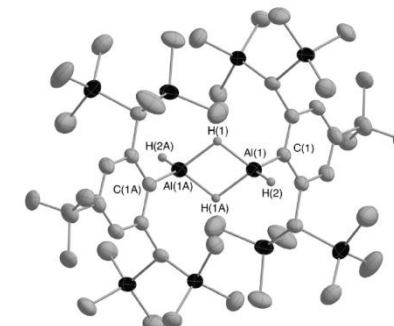
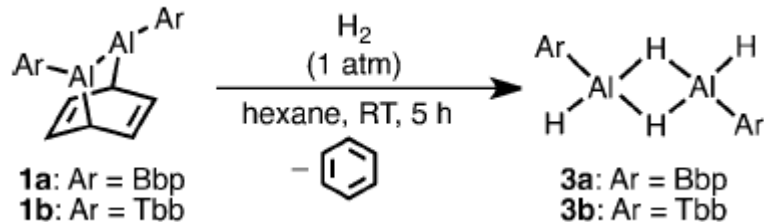
a) Wright, A. D. Phillips, P. P. Power, *J. Am. Chem. Soc.* **2003**, *125*, 10784; b) T. Agou, K. Nagata, N. Tokitoh, *Angew. Chem. Int. Ed.* **2013**, *52*, 10818.

Moderne Aluminumorganyle

- $(Bbp)_2Al_2(C_6H_6)$ als Synthon für freies R-Al, Alumene



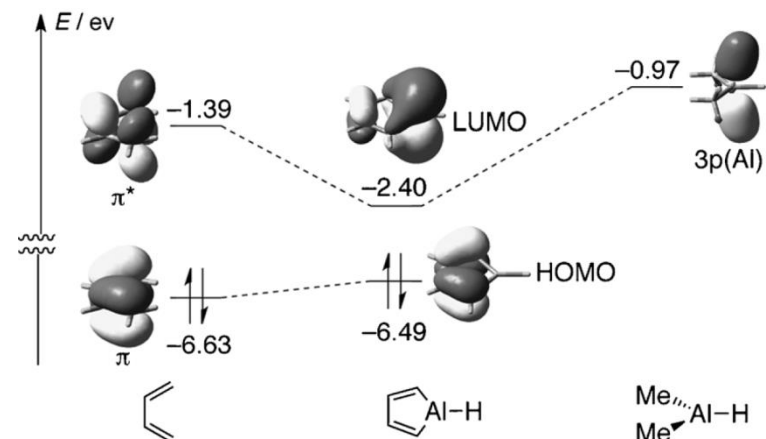
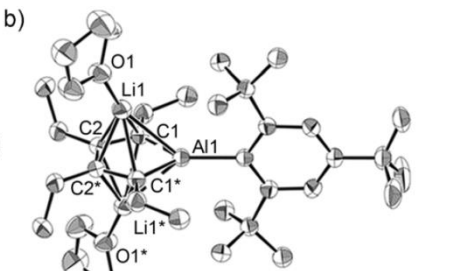
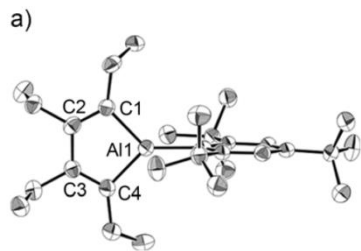
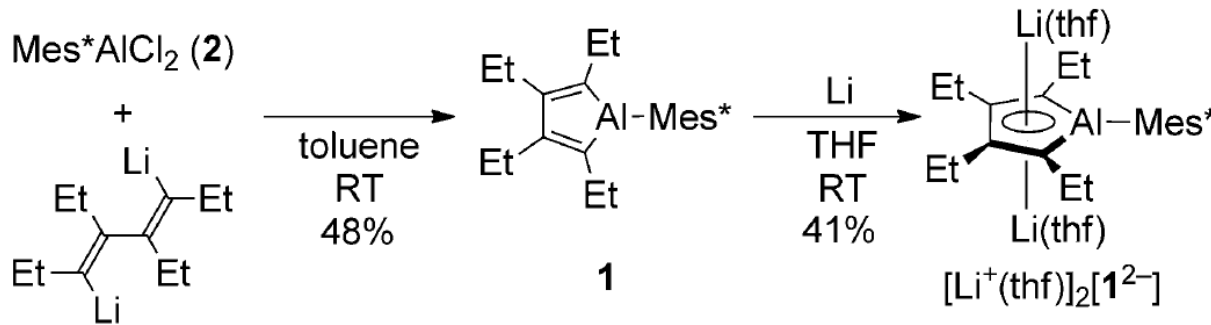
- Dialumene für die Aktivierung kleiner Moleküle



a) K. Nagata, T. Agou, N. Tokitoh, *Angew. Chem. Int. Ed.* **2014**, *53*, 3881; b) K. Nagata, T. Murosaki, T. Sasamori, T. Agou, N. Tokitoh, *Angew. Chem. Int. Ed.* **2016**, *55*, 12877.

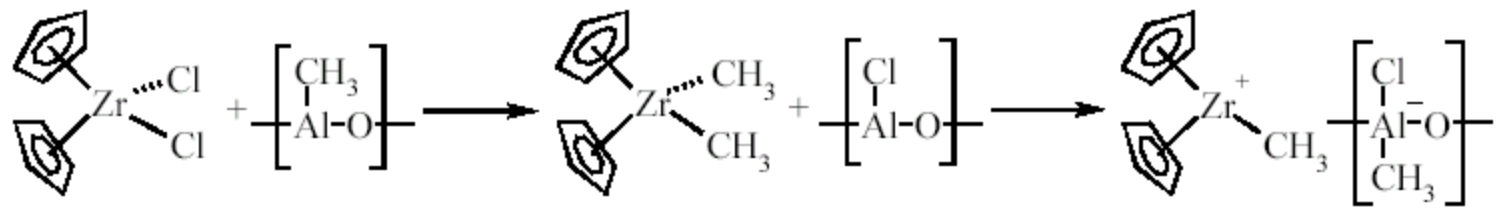
Moderne Aluminumorganyle

- 5-gliederige Heterocyclen mit Aluminium → Alumole

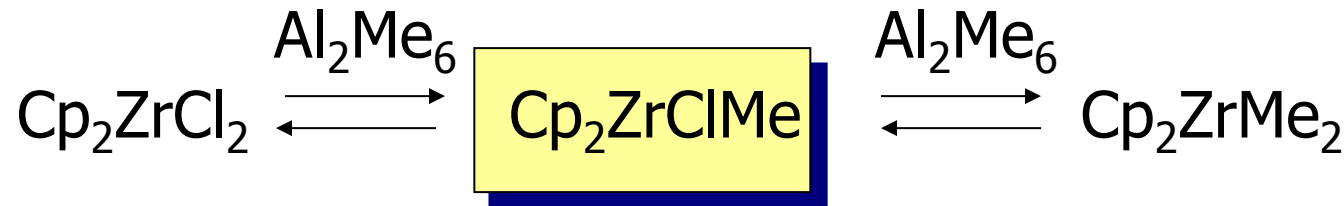


T. Agou, T. Wasano, P. Jin, S. Nagase N. Tokitoh, *Angew. Chem. Int. Ed.* **2013**, 53, 10031.

Anwendung: MAO



Vergleich:



Oxidationsstufen:

Ga, In, Tl

+III: ns^0p^6

+II: ns^1p^0

+I: ns^2p^0

Oxidationsstufe +III

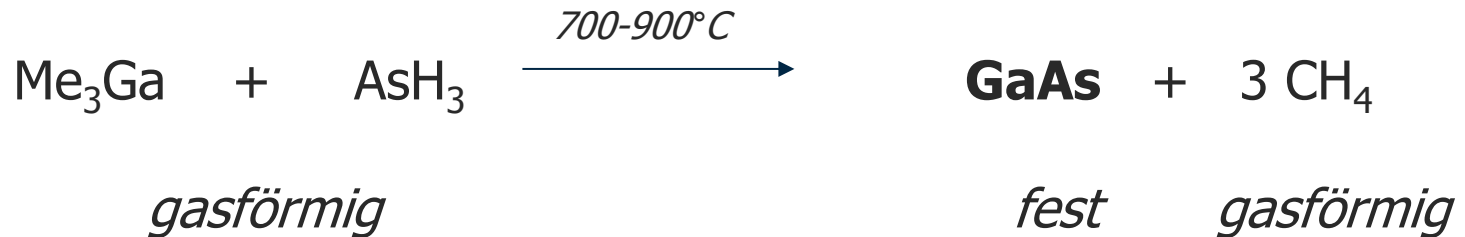
Synthese:

Metathese:



Indium-, Gallium- und Thalliumorganyle: Allgemeines

- Sind deutlich weniger von Bedeutung als die B- und Al-Organyle
- Ga/In-Organyle dienen als Dotierungsreagenzien in der **Halbleiter-industrie**



- Tl-Organyle finden trotz ihrer Toxizität Anwendung in der Synthese
- *Ga(III)* und *In(III)* dominieren in der Chemie
- bei Thallium die Tl(I)-Spezies
- im Gegensatz zu B und Al **kaum noch Dimeren/Brückenbildung**
daraus resultiert eine noch höhere Ox.-empfindlichkeit
- Stabilisierung erfolgt im Normalfall durch **Komplexbildung**



Eigenschaften

MR_3 (Ga, In , Tl) stark Lewis-Sauer!!

- Säure-Base Addukte



- Metallate



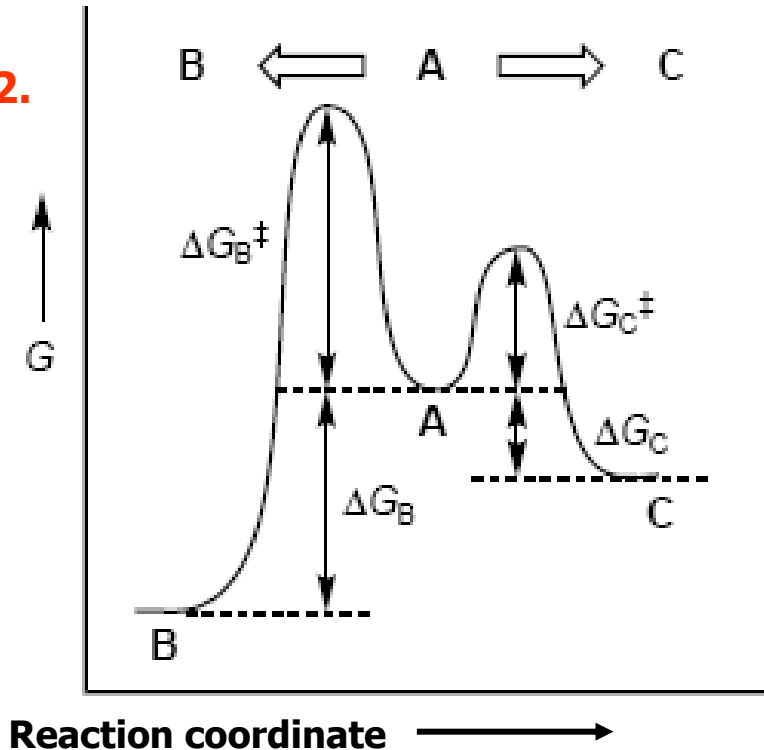
Dynamische („Kovalente“) Chemie

S.J. Rowan, S.J. Cantrill, G.R.L. Cousins,

J.K.M. Sanders, J.F. Stoddart,

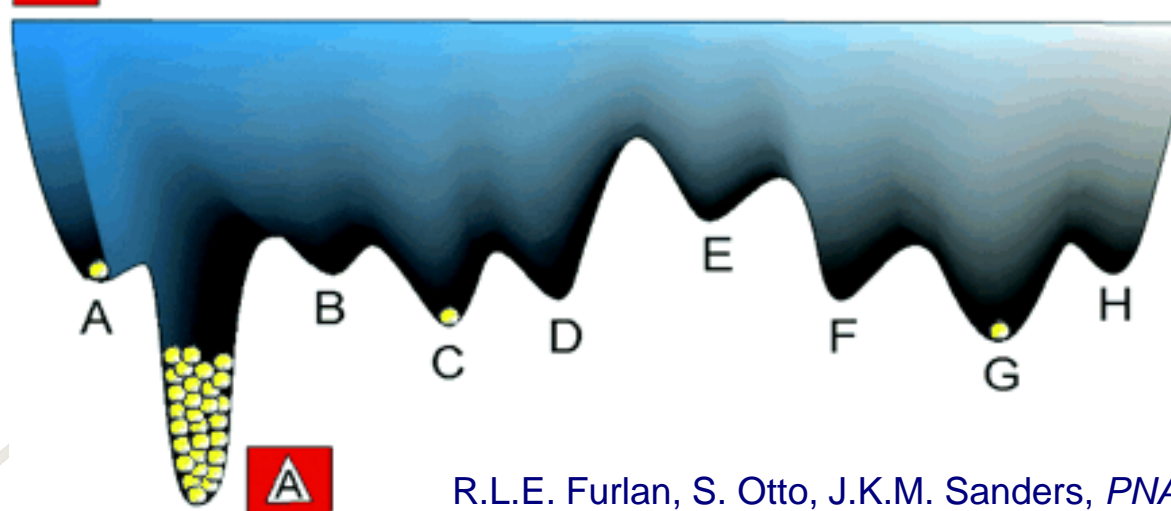
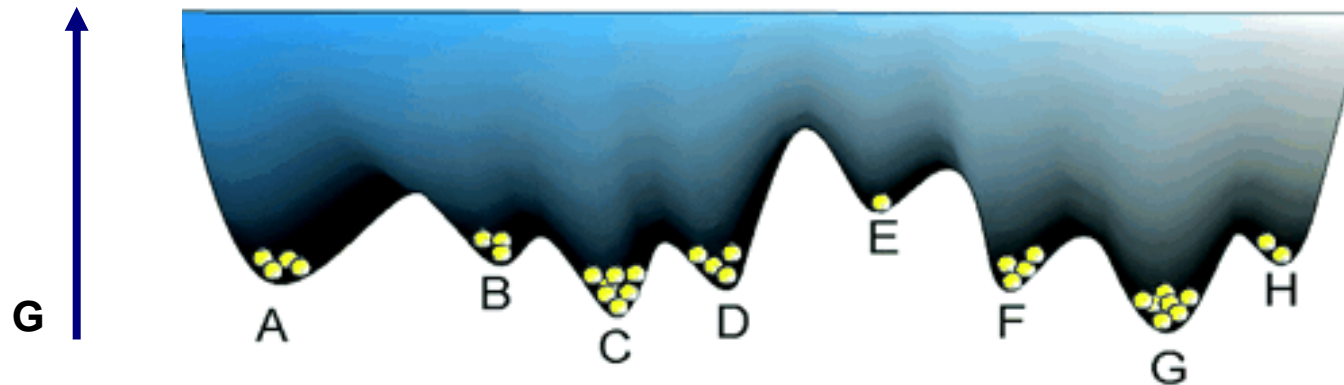
Angew. Chem. Int. Ed. 2002, 41, 898-952.

Dynamic Chemistry



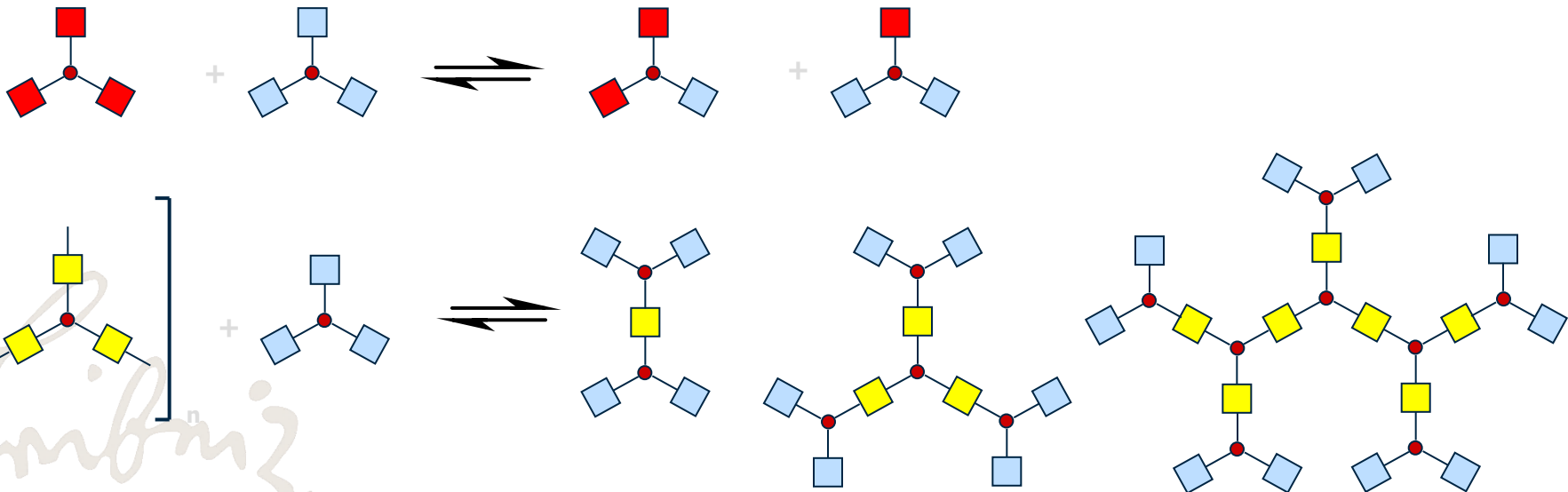
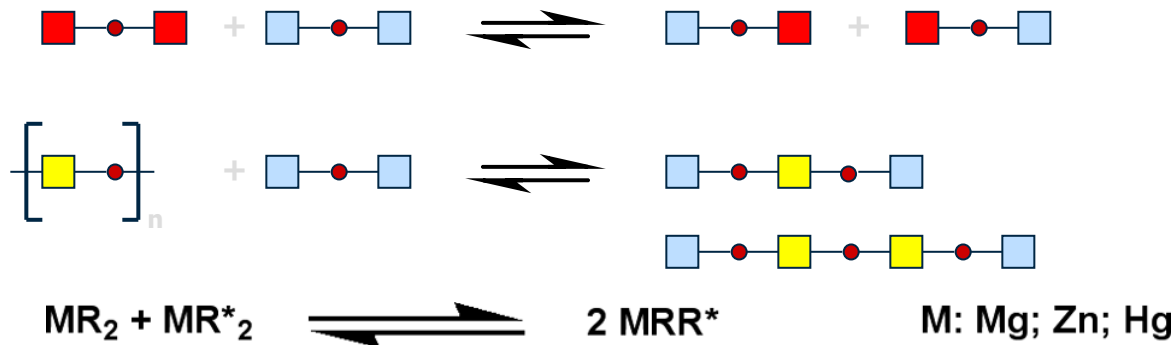
Free energy profile illustrating kinetic (A-C) versus thermodynamic (A-B) control of product distribution. Most covalent chemistry is irreversible and so occurs under kinetic control while most supramolecular and dynamic chemistry is reversible and so occurs under thermodynamic control.

Dynamische („Kovalente“) Chemie



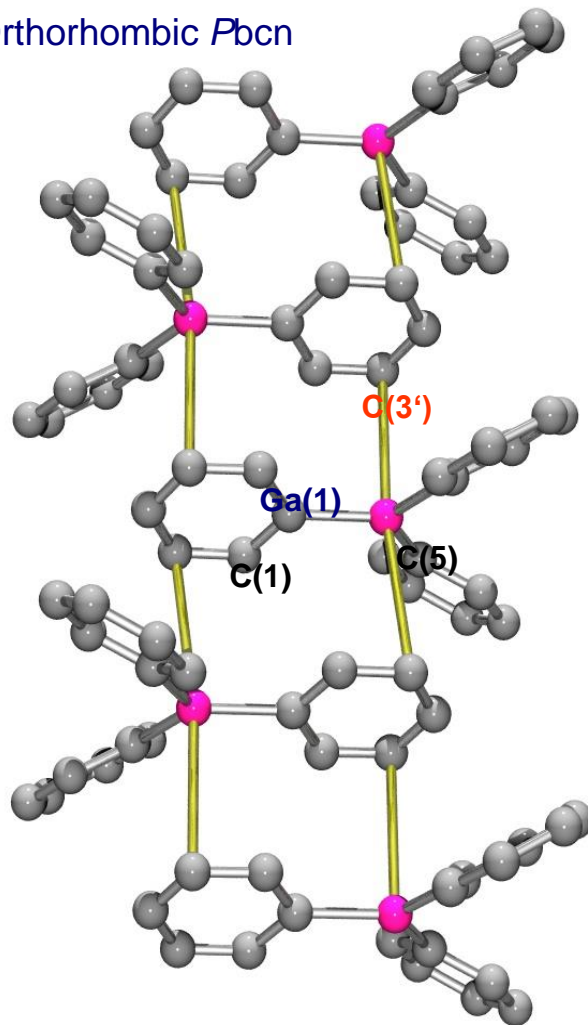
R.L.E. Furlan, S. Otto, J.K.M. Sanders, PNAS 2002, 99, 4801

Dynamische kovalente Organometallchemie



Festkörperstruktur Ph_3In

Orthorhombic $Pbcn$



Selected distances [Å]:

Ga(1)-C(1): 1.95

Ga(1)-C(5): 1.97

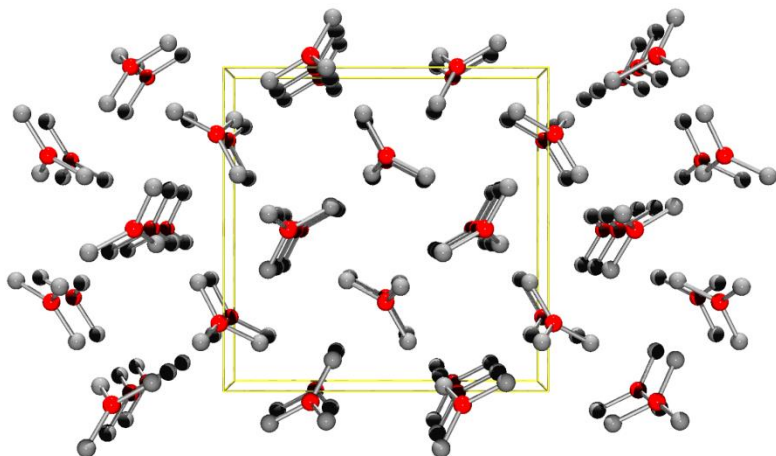
Ga(1)-C(3'): 3.42

Sum of angles [°]:

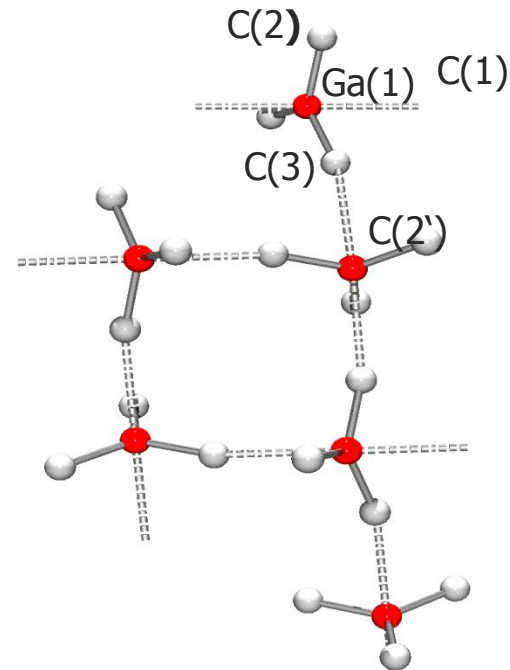
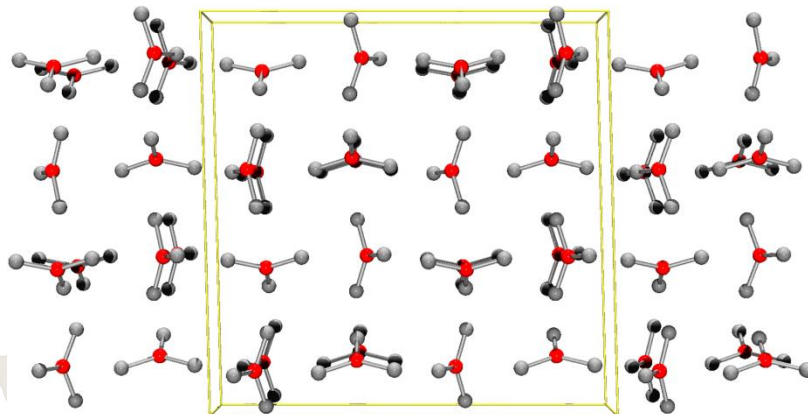
at Ga(1): 360

J.F. Malone, W.S. McDonald, *J. Chem. Soc. A* **1970**, 3362.

Festkörperstruktur Me_3Ga



N.W. Mitzel, *Angew. Chem.* **2002**, *114*, 2629.



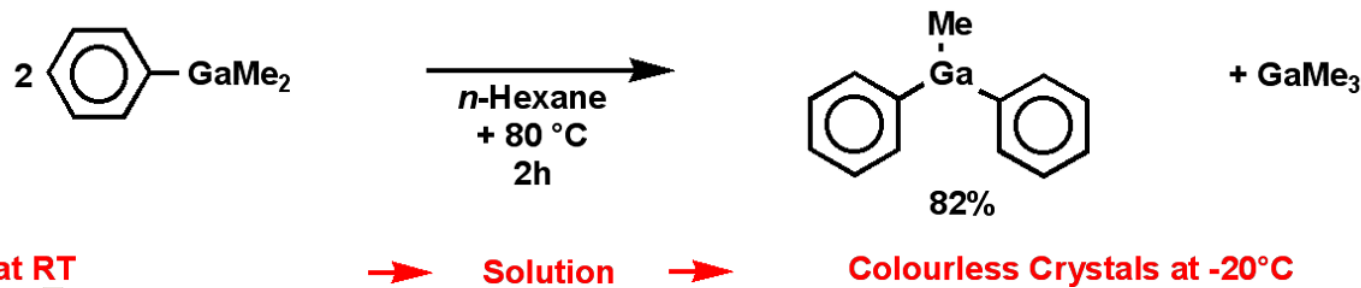
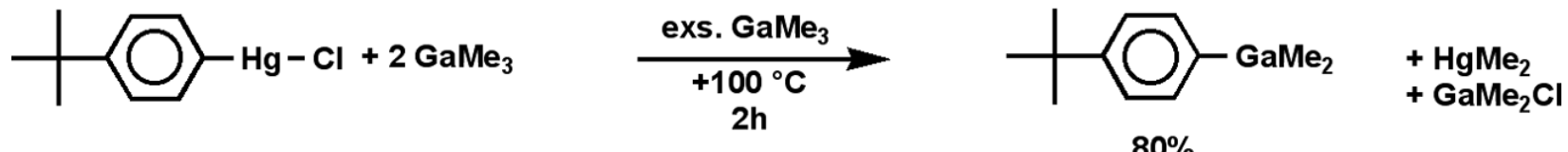
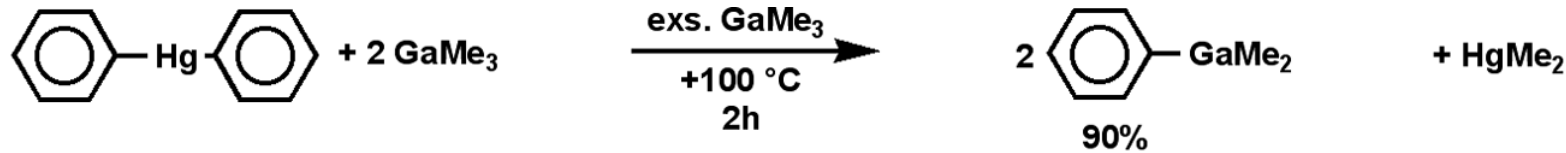
Selected distances [Å]:

Ga(1)-C(1): 1.96

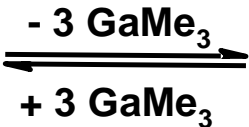
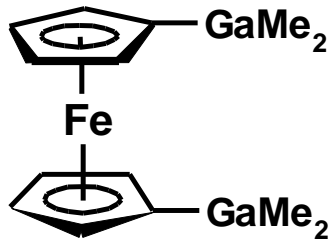
Ga(1)-C(2'): 3.09 - 3.51

Sum of angles [°]:
At Ga(1): 360

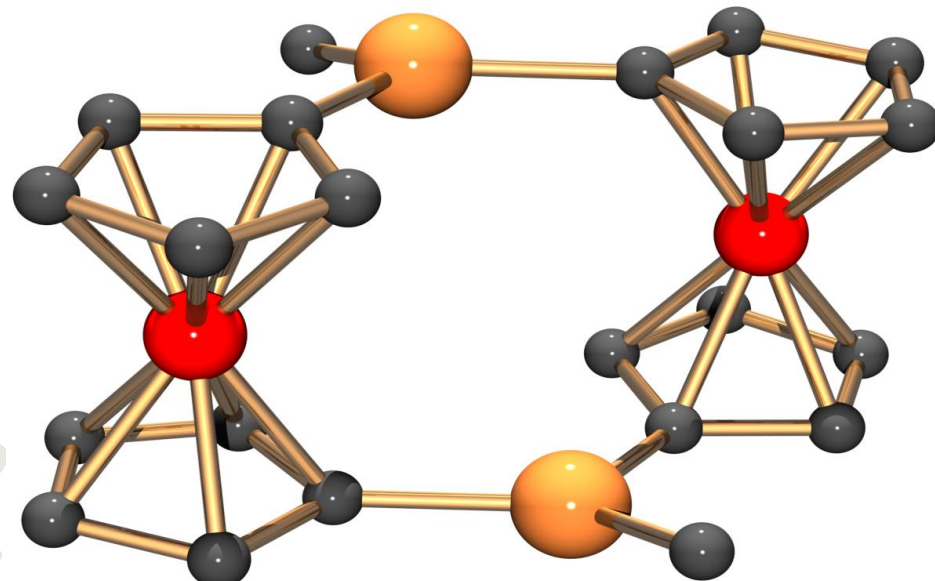
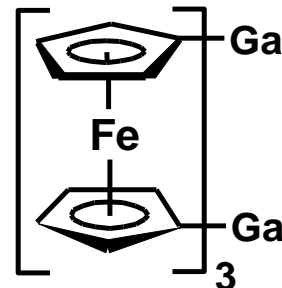
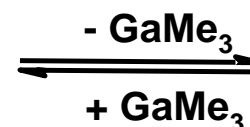
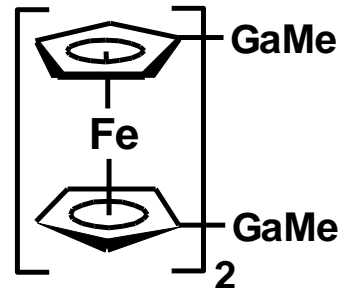
Synthesis of Methyl(phenyl)gallium Compounds



3



3/2



Selected distances [Å]:

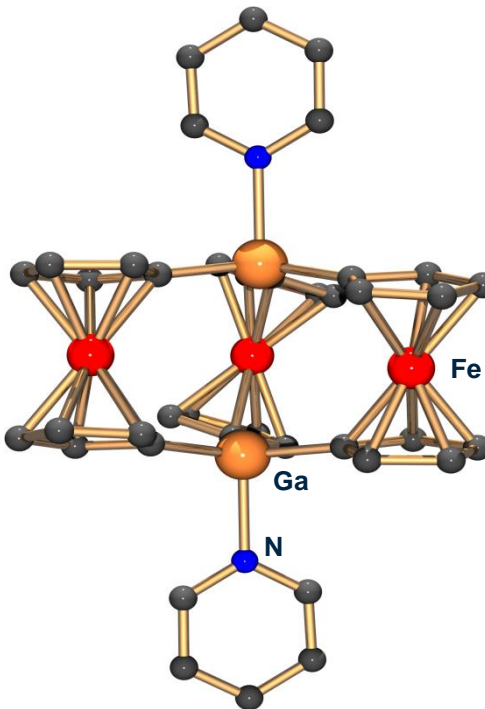
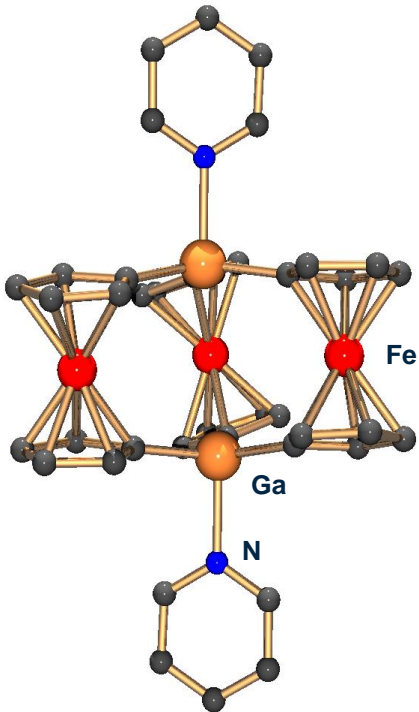
Ga-Ga:	4.41
Fe-Fe:	5.45
Ga-C(Cp):	1.96
Ga-C(Me):	1.94

Sum of angles [°]:

$$\Sigma \text{ Ga: } 359$$

P. Jutzi, N. Lenze, B. Neumann, H.G. Stammler, *Angew. Chem. Int. Ed. Engl.* **2001**, *40*, 1424.
A. Althoff, P. Jutzi, N. Lenze *et al.*, *Organometallics* **2003**, *22*, 2766.

Ein molekulares Karussel



Distances [Å]:

 Ga-Ga: 3.87
 Fe-Fe: 5.46
 Ga-C: 2.14
 Ga-N: 2.14

Sum of angles [°]:

Σ Ga: 355

P. Jutzi, N. Lenze, B. Neumann, H.G. Stammler, *Angew. Chem. Int. Ed.* **2001**, *40*, 1424.